

# **Perfilagem Geológica de Poços**

**Concurso para Professor na Área de Geologia**

**Subárea de Geologia do Petróleo**

**EDITAL N° 252, DE 02 DE ABRIL DE 2014**

**UNIFESP**

# **Plano de Aula**

## 1- Introdução

1.1- Perfilagem de Poços

1.2- Aplicações

1.3- Ambiente de Poço

## 2- Perfis Básicos

2.1- Perfil Caliper

2.2- Perfis de Porosidade: Sônico, Densidade, Nêutrons

2.3- Perfis Elétricos: Potencial Espontâneo, Resistividade

## 3- Perfis Especiais

3.1- Perfil Dipmeter (mergulho)

3.2- Perfis de Imagens: Resistiva e Acústica

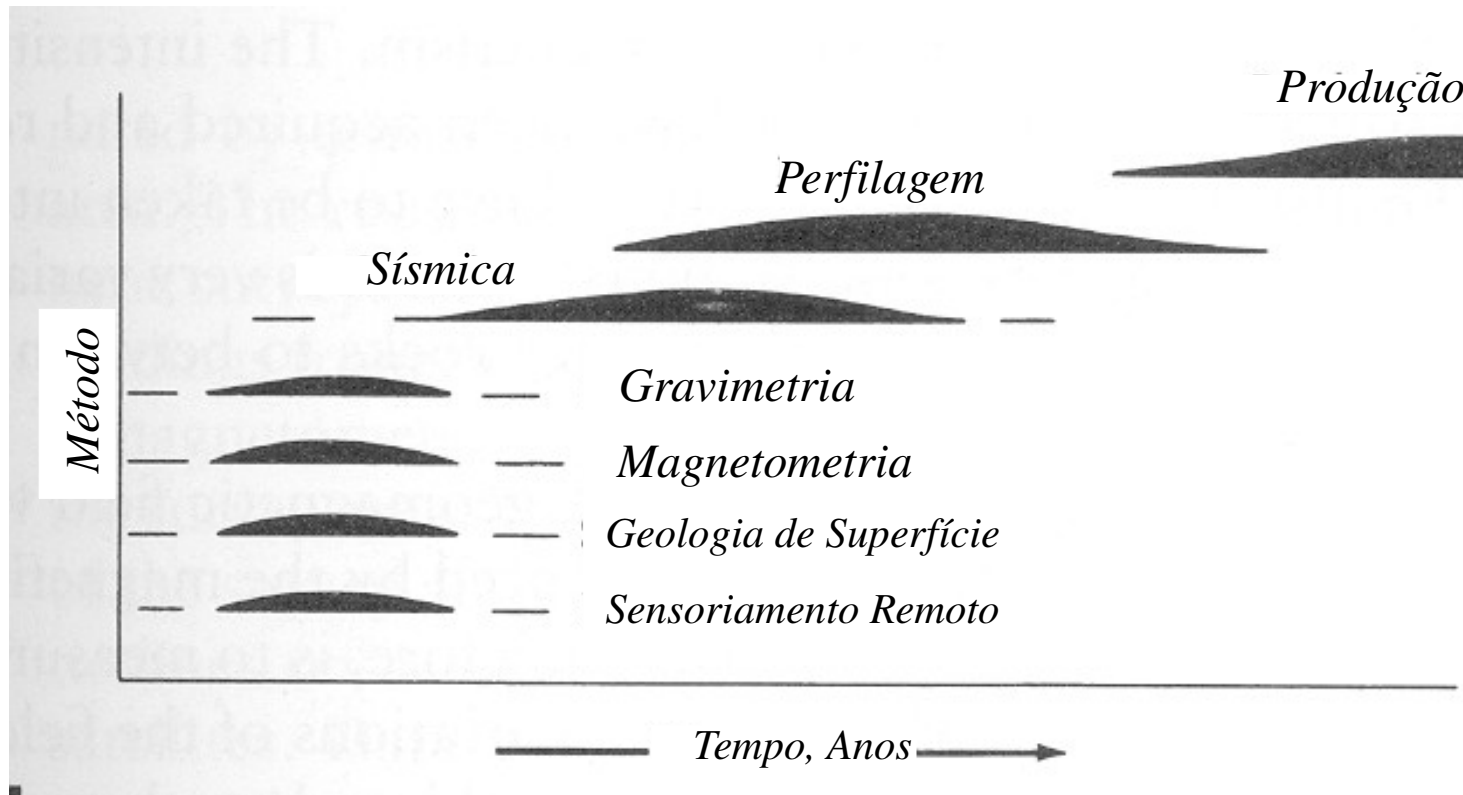
3.3- Ressonância Magnética Nuclear

## 4- Considerações finais

## Métodos de exploração

- Principais ferramentas geofísicas, utilizadas na exploração e produção de hidrocarbonetos envolvem:

- a) Sísmica de Reflexão
- b) Petrofísica
- c) Perfilagem de Poços



## *Perfilagem Geológica de Poços*

a) Caracterização de Reservatórios

Litologia

Qualidade do reservatório

Tipo de fluido/ Saturação / Cálculo Reservatório

Horizontes dos Fluidos

b) Correlação Sísmica-Poço

c) Planejamento Produção

d) Aplicação na Oceanografia– Perfilagem de Testemunhos em expedições

# Perfilagem

## - POÇO ABERTO

- Wireline (a cabo)
- TLC – Tough Logging Condition System

(Sistema de Perfilagem em Condições Difíceis)

- LWD – Logging While Drilling
- (Perfilagem Durante a Perfuração)

## -POÇO REVESTIDO

# Tipos de Perfilagem em Poço Terrestre

## Perfilagem a Cabo - Wireline

**Cabo de Perfilagem**

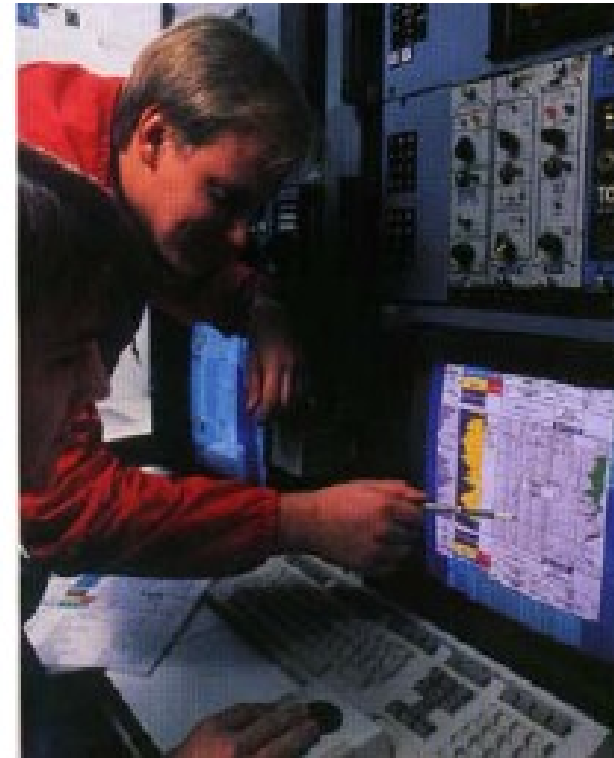
**Sonda de Perfilagem**

**Unidade de Perfilagem**

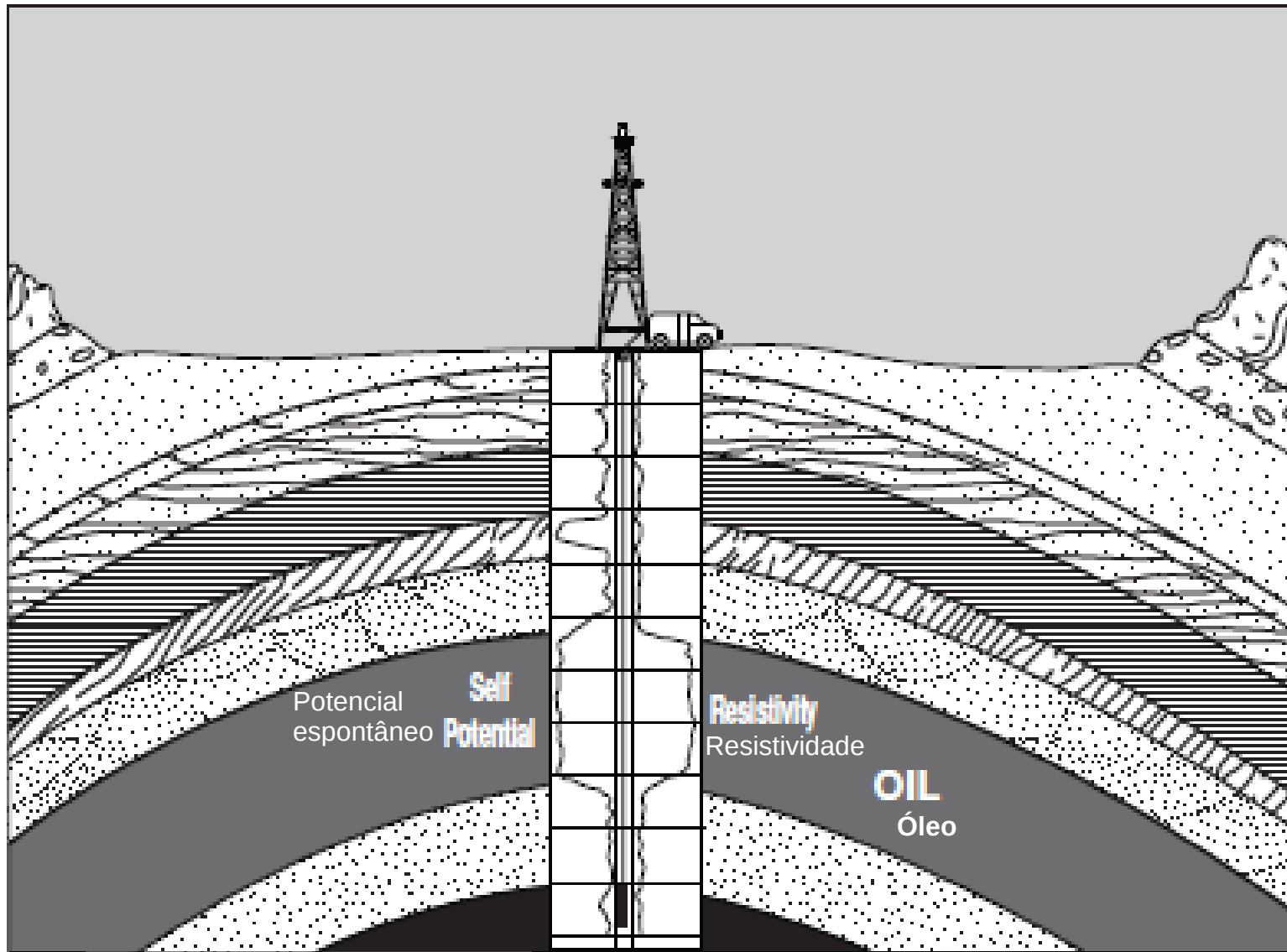
Contem os equipamentos que realizam a aquisição dos dados

Soeiro (2005)

## *Equipamentos de Perfilagem Terrestre*

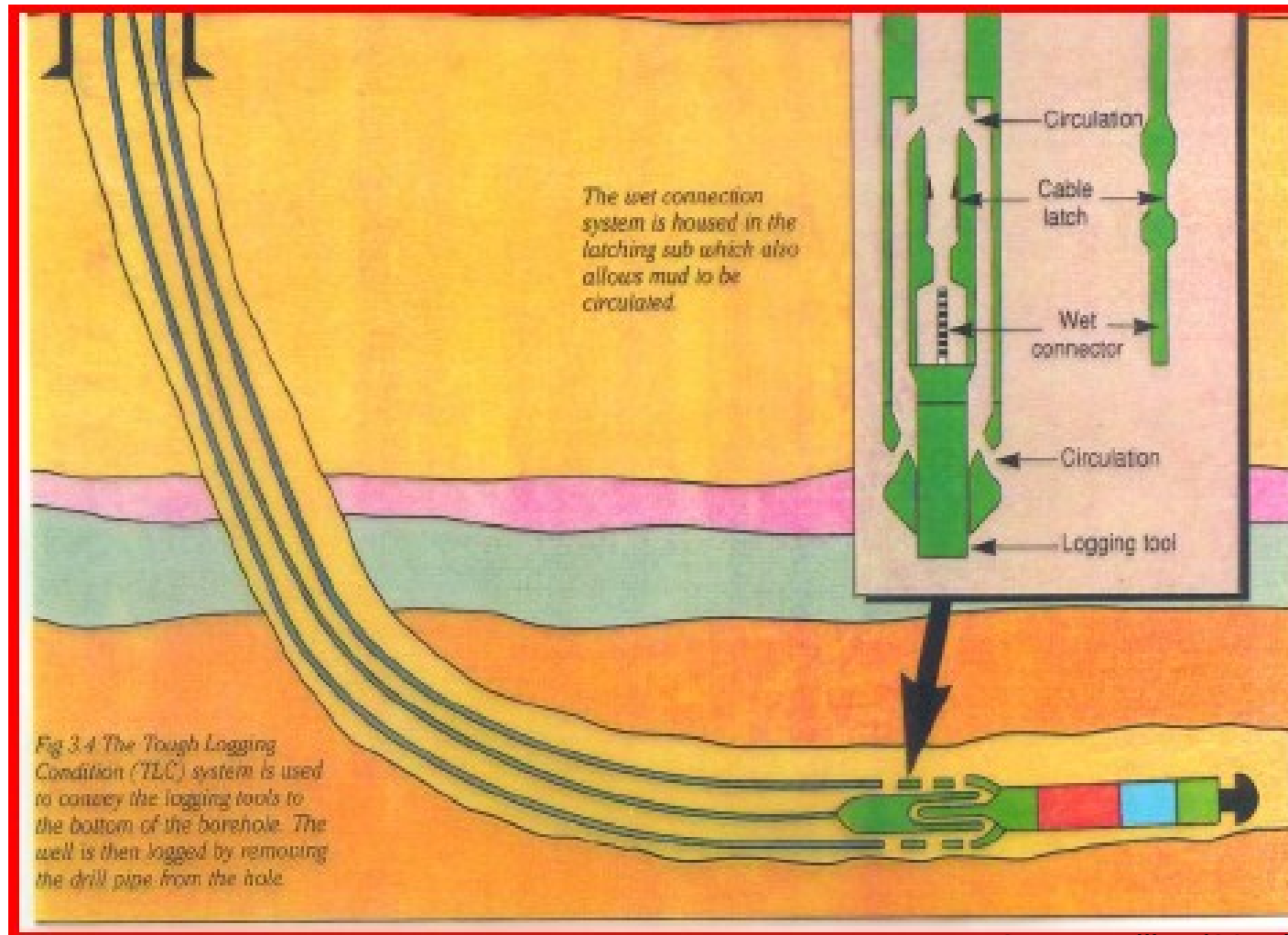


Flores et al. (2006)



Carrasquilla (2014)

## Perfilagem TLC (Tough Logging Condition System) (Sistema de Perfilagem em Condições Difíceis) Inclinações maiores que 60°

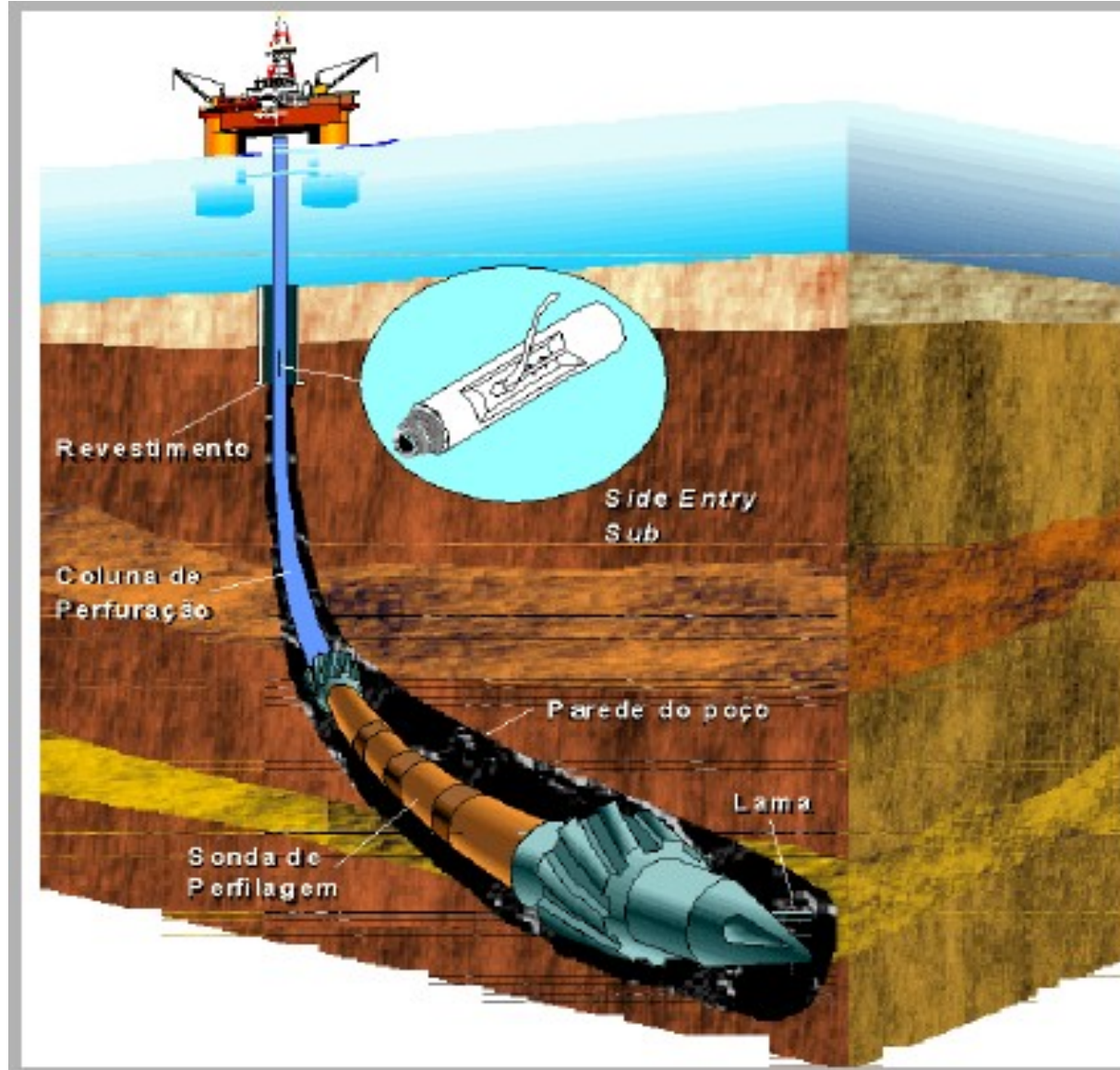


## Introdução: Perfilagem

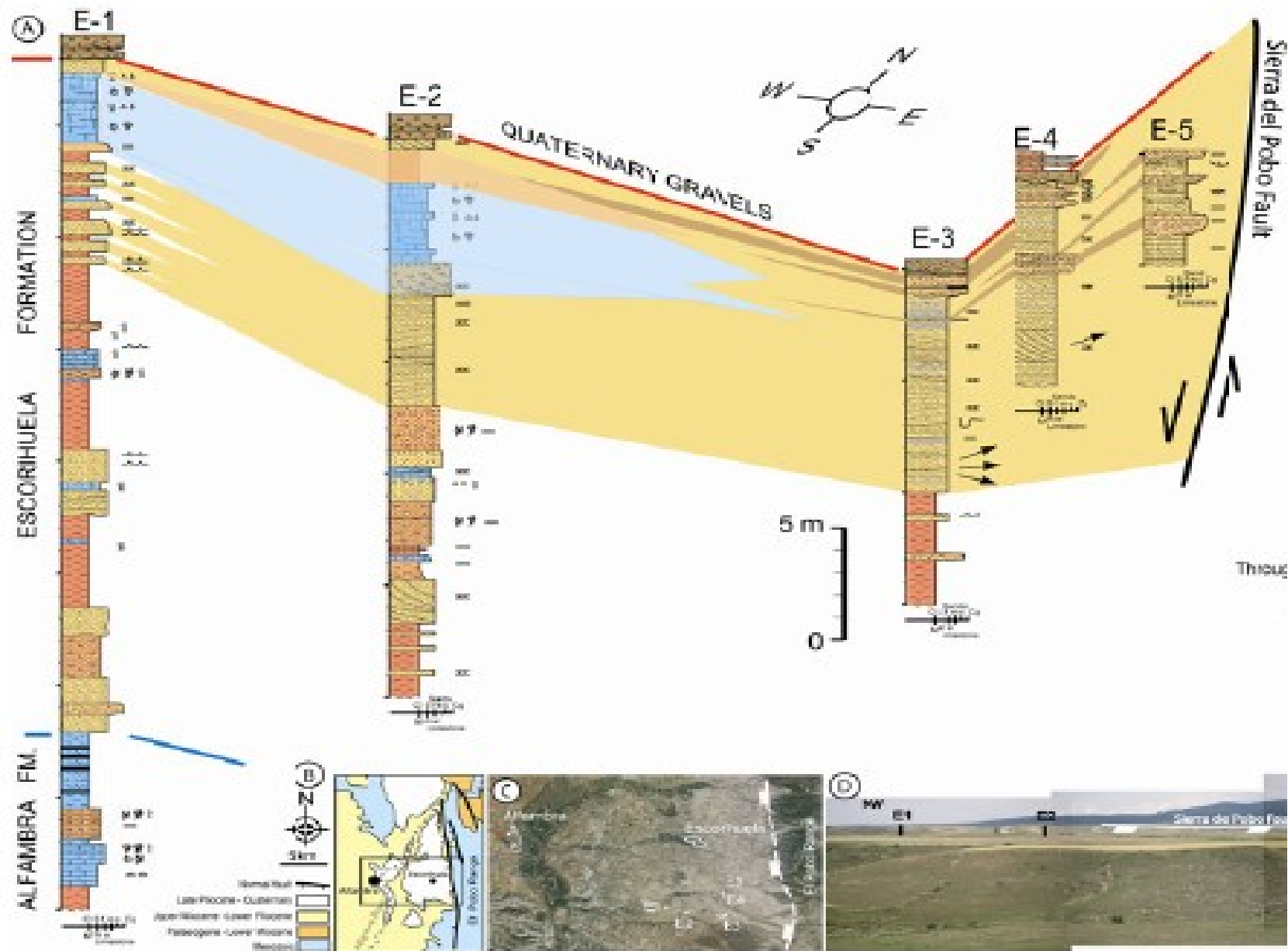


Carrasquilla (2014)

## Perfilagem durante a perfuração LWD - (Logging While Drilling)

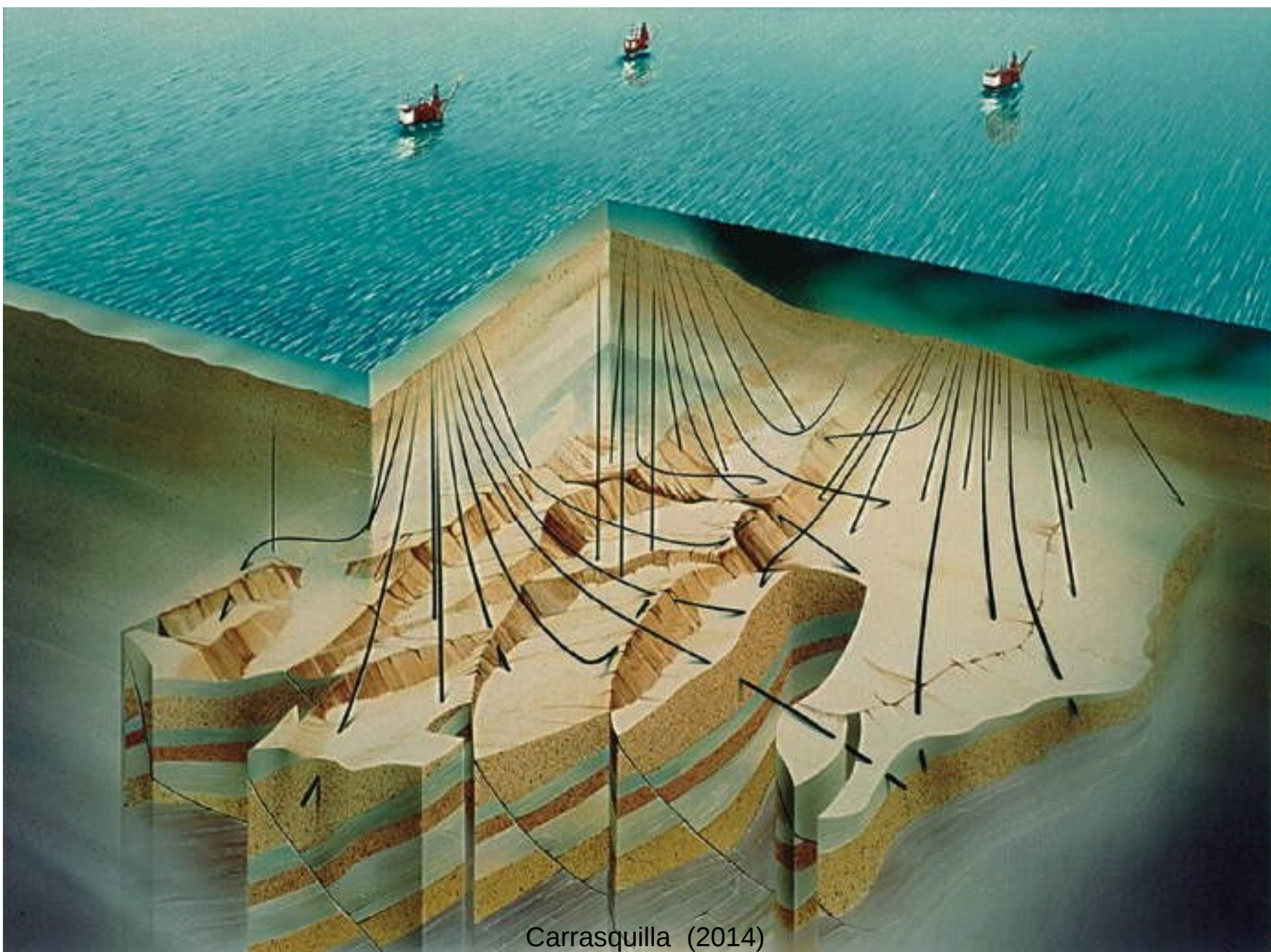


- Correlação estratigráfica entre poços.



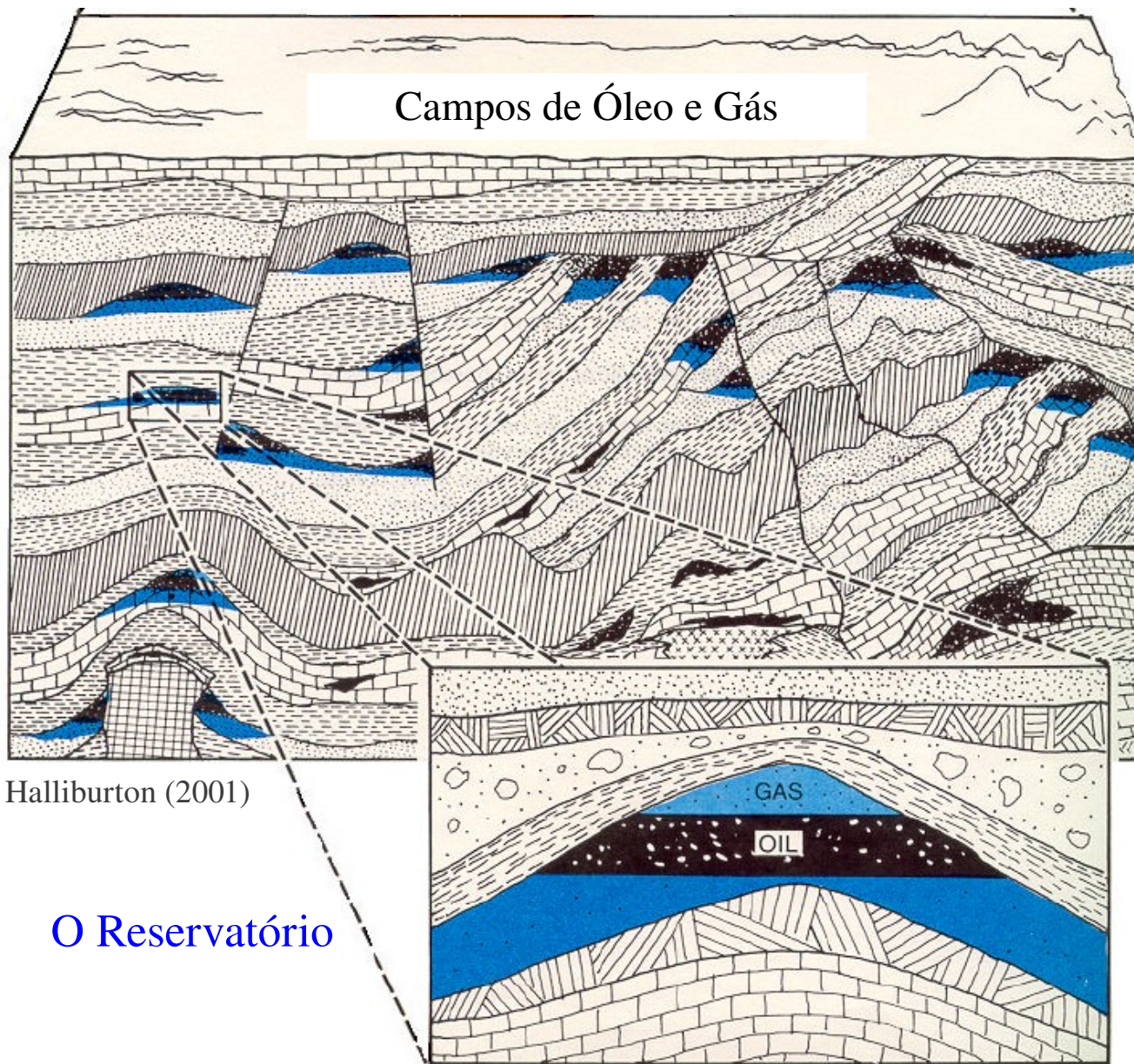
- Correlação estratigráfica entre poços: Blocos Estruturais

## *Introdução: Aplicações*



- Correlação estratigráfica entre poços: Contexto Geológico complexo

## Introdução: Aplicações

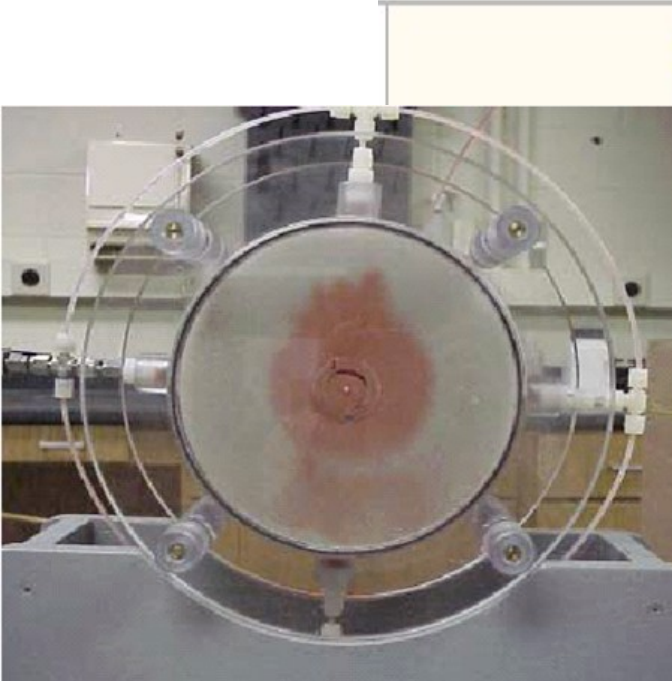


## Fluido de Perfuração

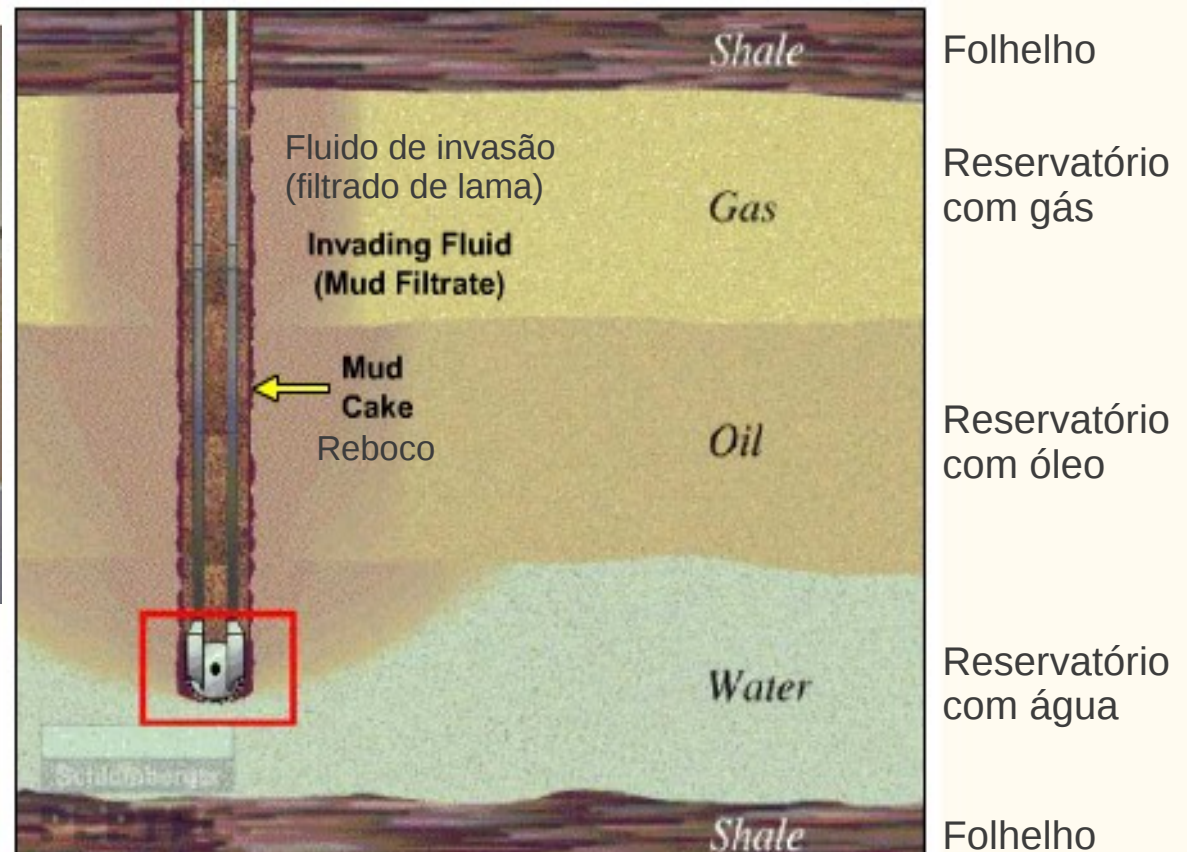
Importância: - resfriar e lubrificar a broca

- transportar fragmentos de rocha até a superfície
- manter a pressão do reservatório
- evitar “*blowout*”
- sustentar as paredes do poço
- auxílio obtenção de dados perfilagem

# Fluido de Perfuração



Invasion Invasão



Feijó (2005)

## *Propriedades Petrofísicas da Rochas*

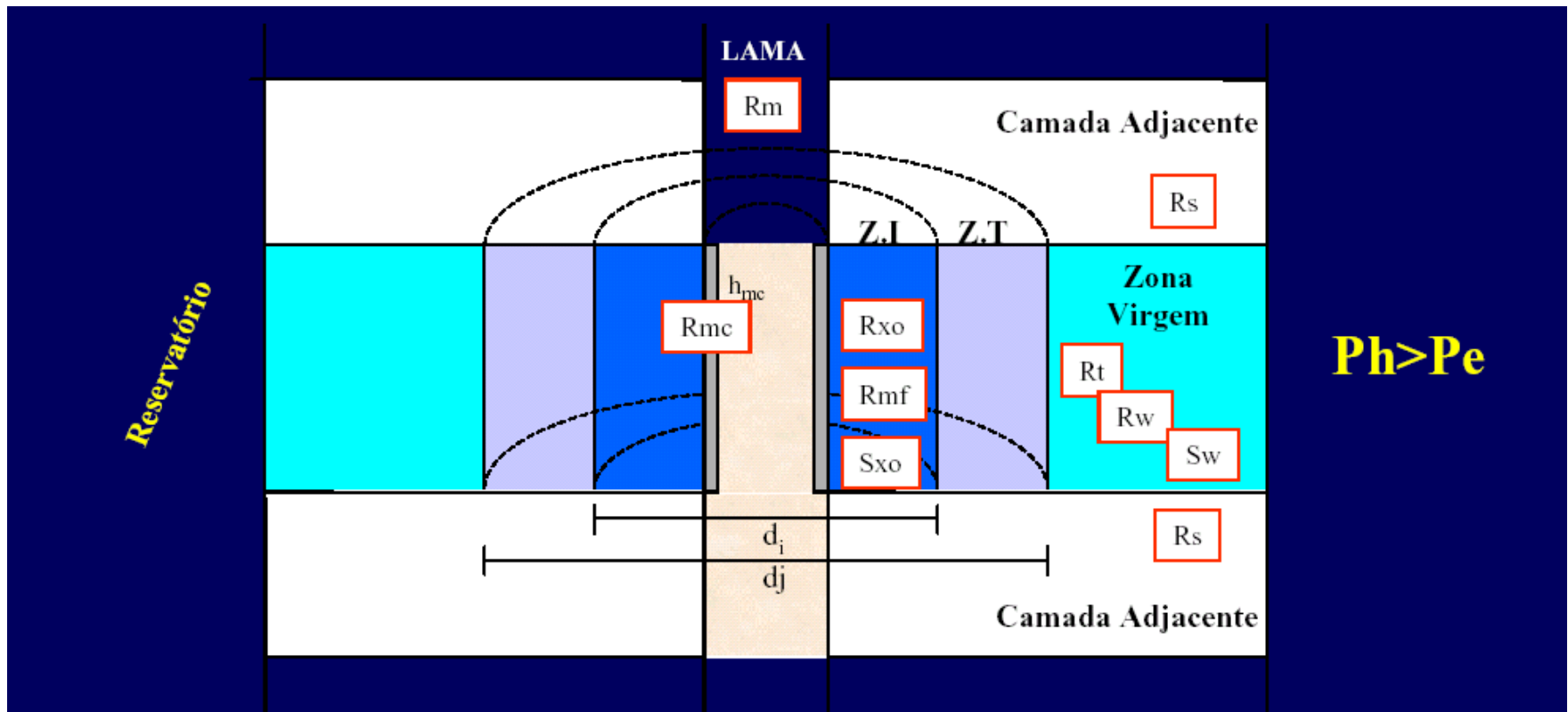
### - *Resistividade (ou Condutovidade) Elétrica*

**Resistividade:** é definida como sendo a medida da capacidade de um material qualquer de contrapor (de resistir) à passagem de corrente elétrica.

**Condutovidade:** é a habilidade de um material qualquer de permitir ou facilitar o fluxo elétrico.

- Os **Hidrocarbonetos (óleo ou gás), água doce** agem como **isolantes**, (não-condutivos e altamente resistivos)
  
- A **água salgada é condutora**, baixa resistividade.

## Ambiente de Poço – aquisição de parâmetros



**Rm=Resistividade da Lama**

**Rmc=Resistividade do Reboco**

**Rmf=Resistividade do Filtrado**

**Rxo=Resistividade da Zona Lavada**

**Rw=Resistividade da Água**

**Rt=Resistividade da Formação**

**hmc=Espessura do Reboco**

**Rs=Resistividade da Camada Adjacente**

**Sxo=Saturação da Zona lavada**

**Sw=Saturação de Água**

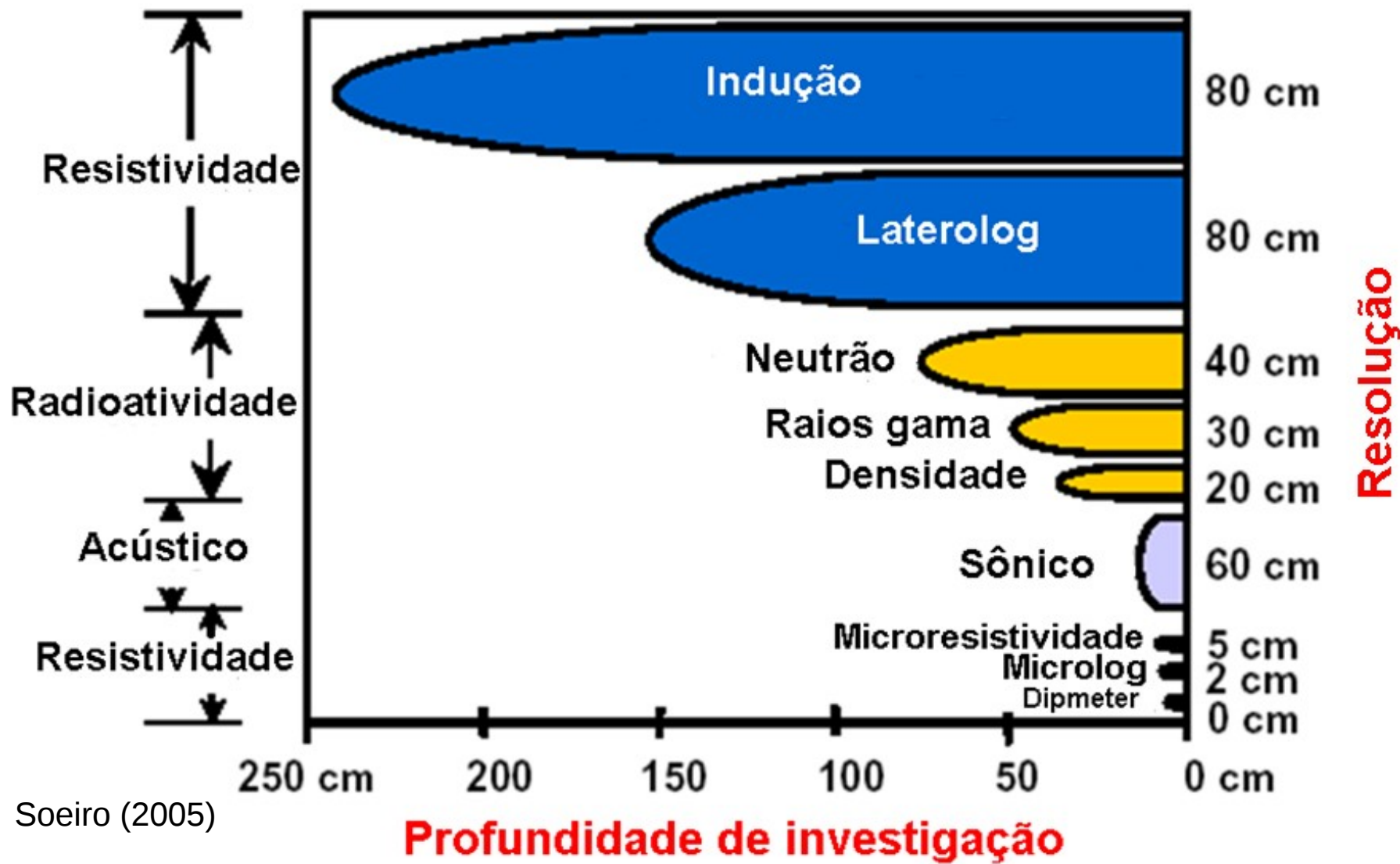
# **Principais Perfilagens Básicas**

- Calibre (Caliper)**
- Nêutrons (Neutrão)**
- Raios Gama (natural)**
- Resistividade**
- Densidade (Gama-Gama)**
- Potencial Espontâneo (SP)**
- Sônico**

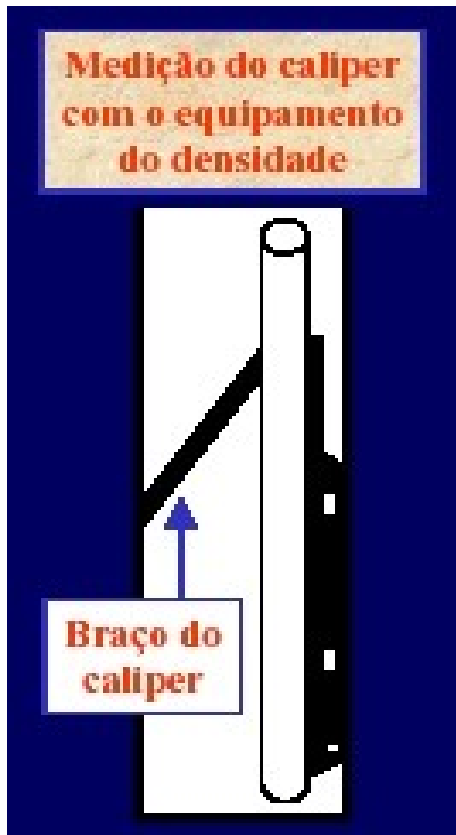
## **Principais Perfilagens Especiais**

- Perfil Dipmeter (Mergulho)**
- Perfil de Imagem Resistiva**
- Perfil de Imagem Acústica de Poço**
- Ressonância Magnética Nuclear**

# Ferramentas de poço: resolução e profundidade de investigação



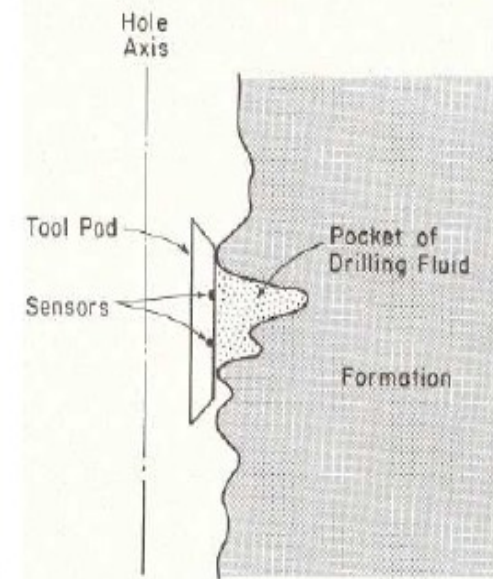
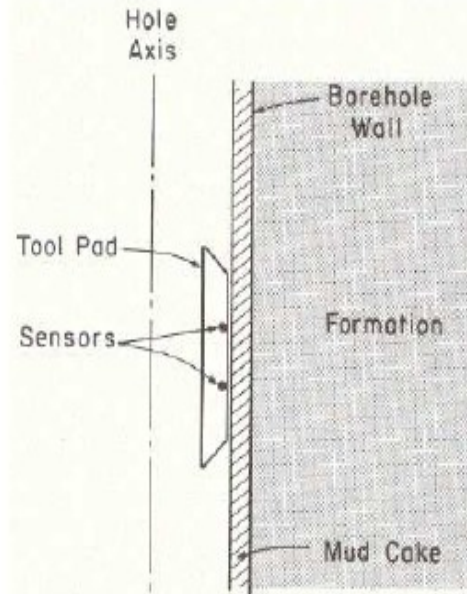
## *Perfil de calibre do poço - Caliper*



- O movimento de abertura ou fechamento dos braços, acoplados a uma bobina, geram **respostas elétricas** nestas bobinas.

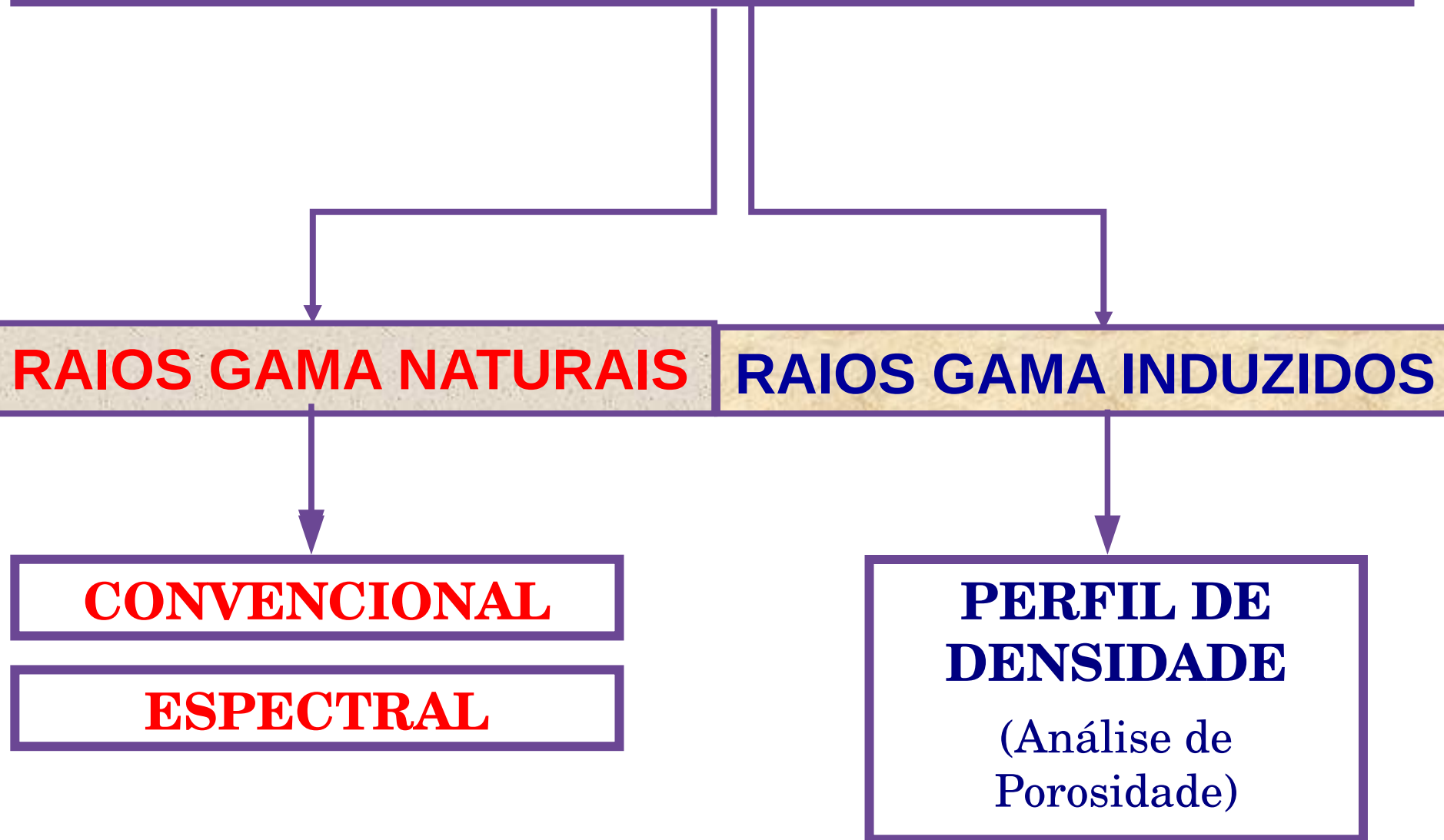
Soeiro (2005)

## Determinar zonas com invasão



Soeiro (2005)

# PERFIS DE RAIOS GAMA



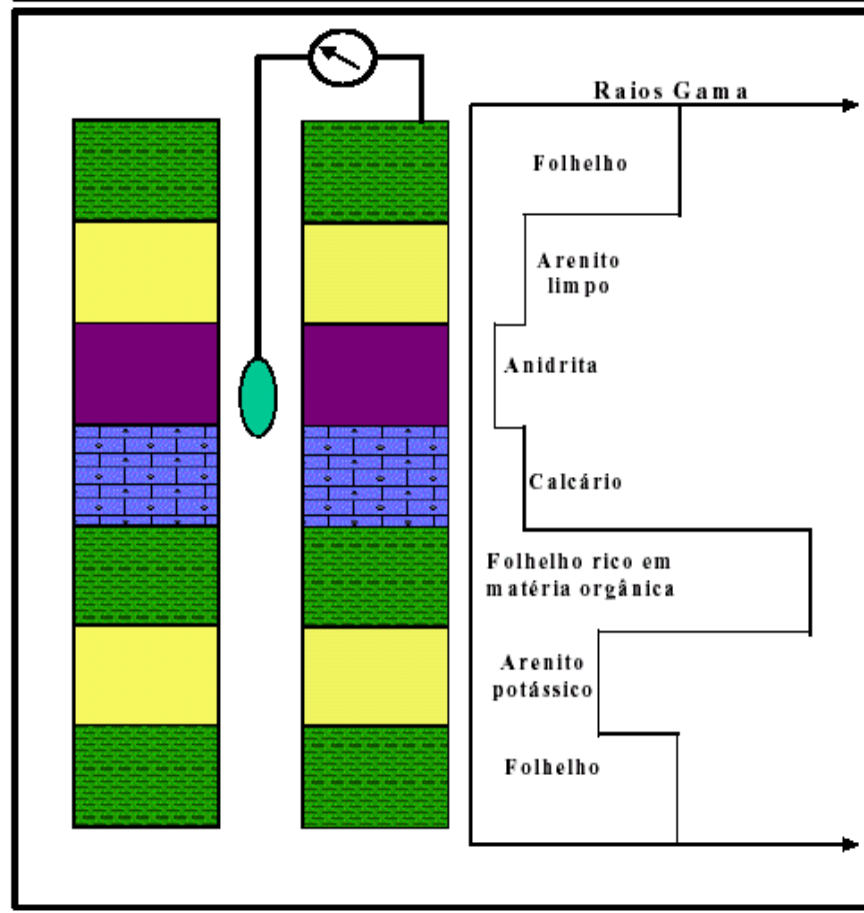
## ***Perfis de Raios Gama Naturais – Gama Ray (GR)***

- Principais elementos radioativos presentes em minerais de rochas:
  - **Urânio** ( $U^{238}$ ) ex: – argilas orgânicas (selo ou geradora)
  - **Tório** ( $Th^{232}$ ) ex: – arenitos com fragmentos de rochas
  - **Potássio** ( $K^{40}$ ) ex: – feldspato: Arcóseo – arenito com feldspato
    - ilita: Argila em Arenito
    - mica: Siltito, Rocha Vulcânica

## Princípio:

- cristais de iodeto de sódio, acoplado a um fotomultiplicador, emitem luz ao receber radiação gama – convertido em impulsos elétricos.

### Medida do Raios Gama em Tipos Litológicos

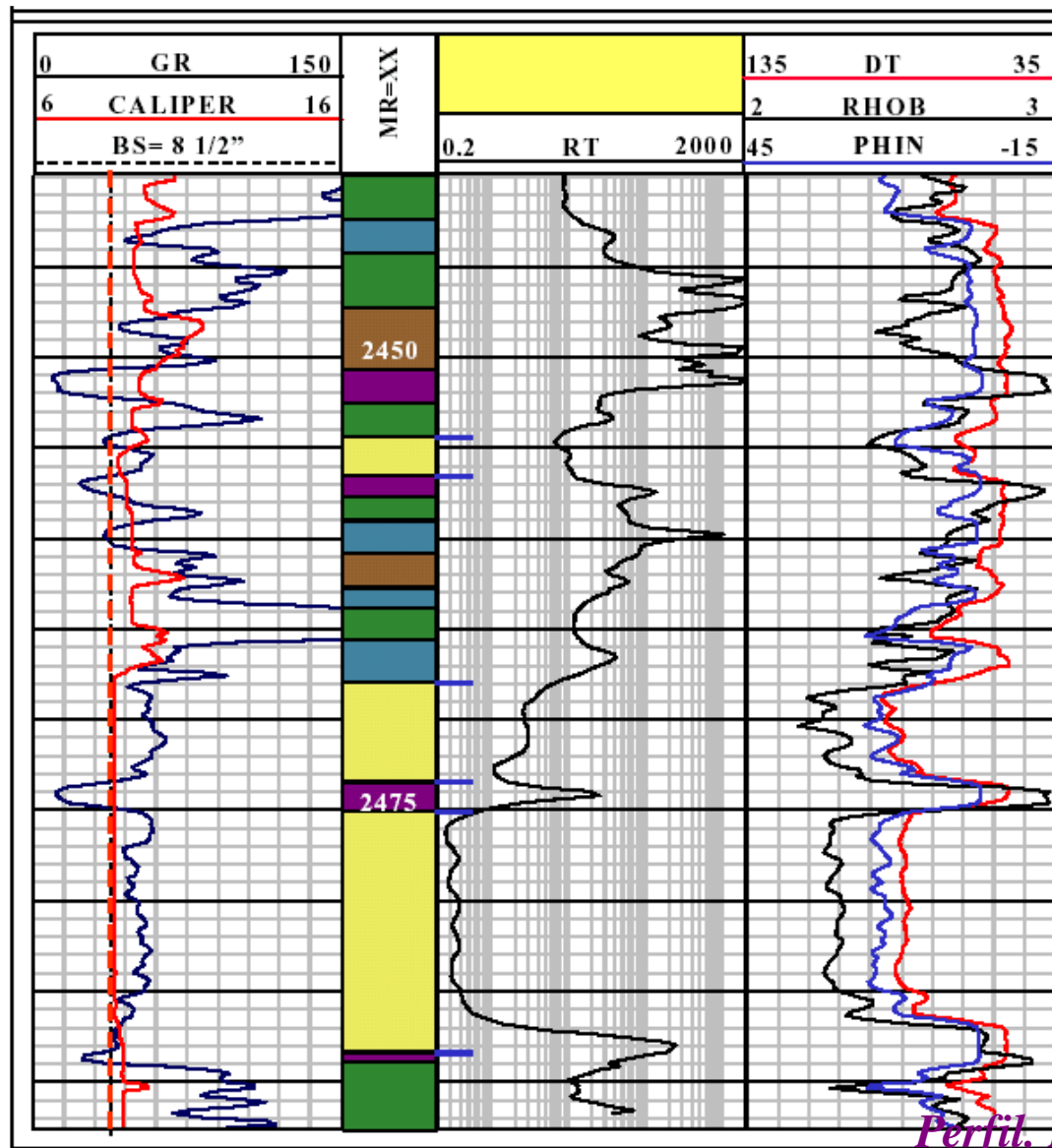


Unidade de medida: API

Fonte: Soeiro (2005)

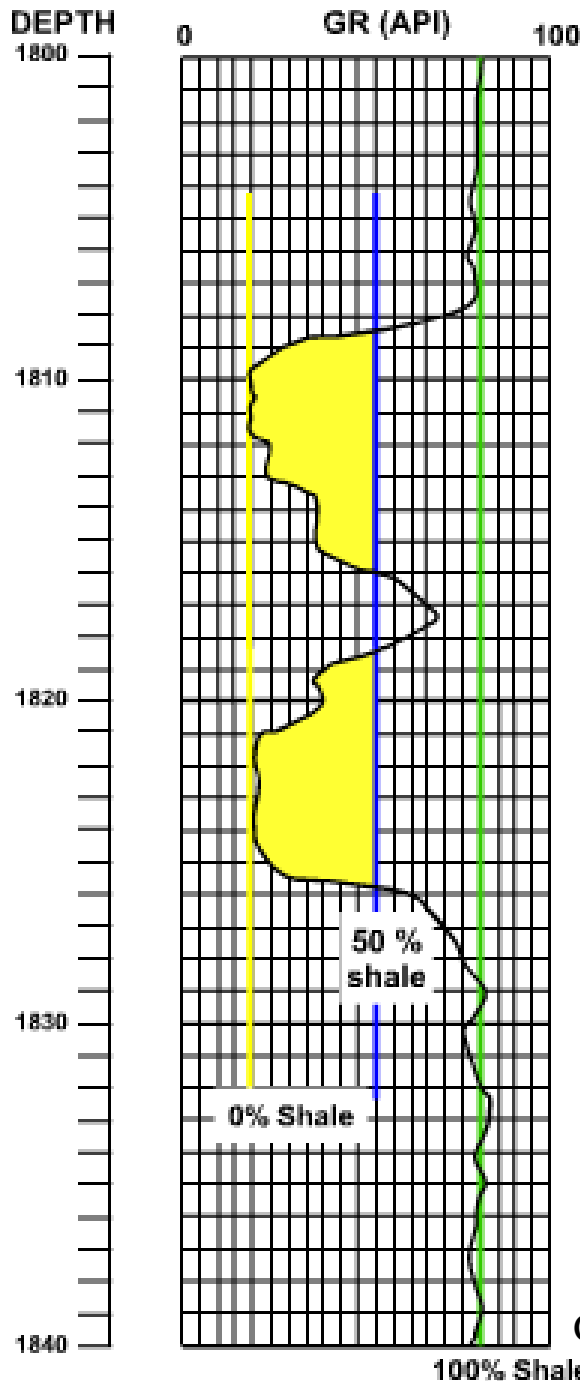
Perfil. Básicas: Raio Gama

## *Representação do caliper com Raios Gama Convencional*



Soeiro (2005)

*Perfil. Básicas: Raio Gama*



## Interpretação do perfil de raios gama



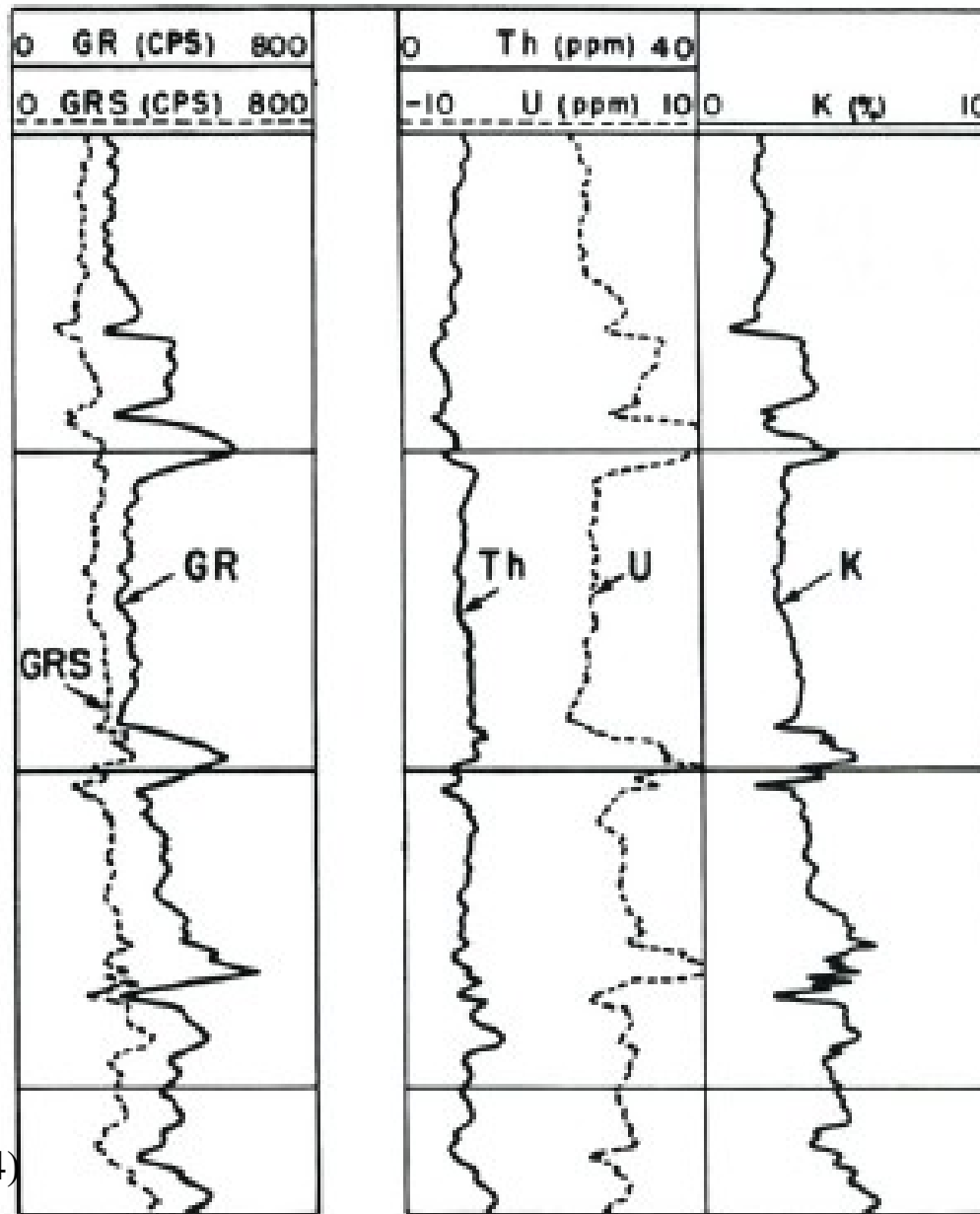
$$I_{GR} = V_{sh} = \frac{GR(\text{lido}) - GR \text{ min}}{GR \text{ máx} - GR \text{ min}}$$

Folhelho  
Arenito argiloso

Arenito

Folhelho

## *Raios Gama de Espectral*



Fonte: Bassiouni (1994)

Perfil. Básicas: Raio Gama

## *Perfis de Porosidade*

- Perfil Sônico (DT)
- Perfil de Densidade (RHOB)
- Perfil Nêutrons (NPHI)

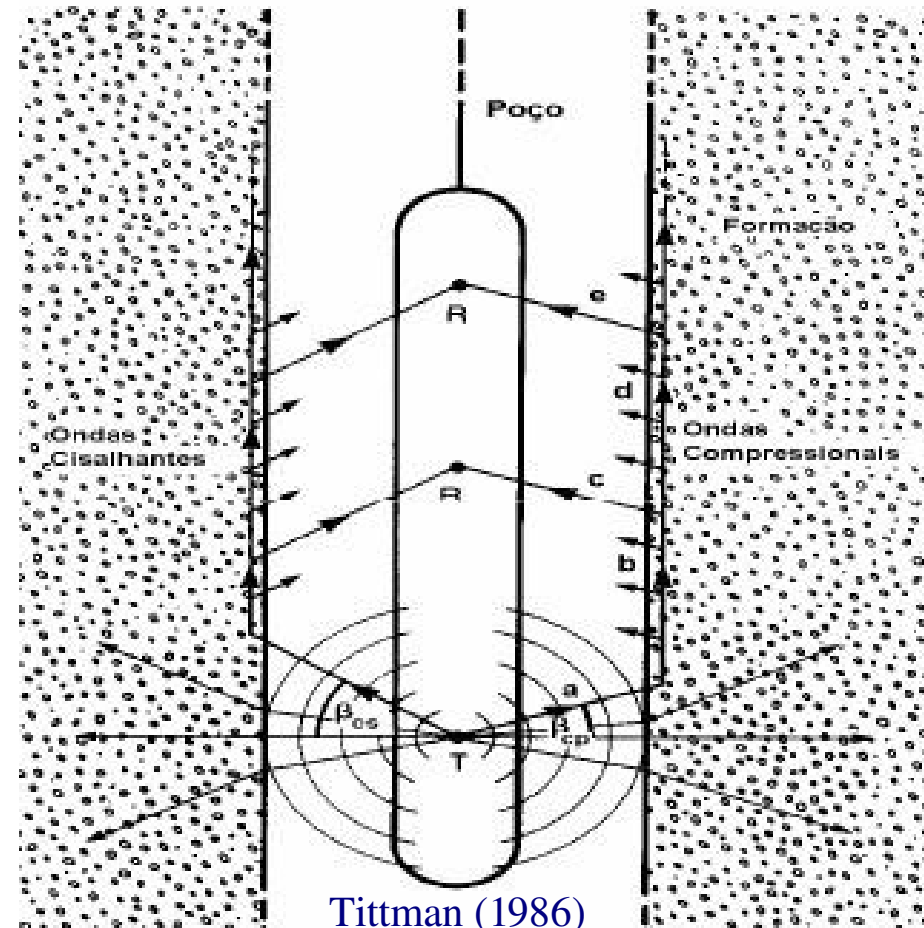
## *Perfil Sônico (ou Acústico)*

- Registra o tempo decorrido entre o momento em que um **pulso sonoro compressional** é emitido por um transmissor até sua chegada a dois receptores distintos (sobre o mesmo mandril).

- A diferença entre os dois tempos de chegada é chamada de:

**tempo de trânsito** ( $\Delta t$ )

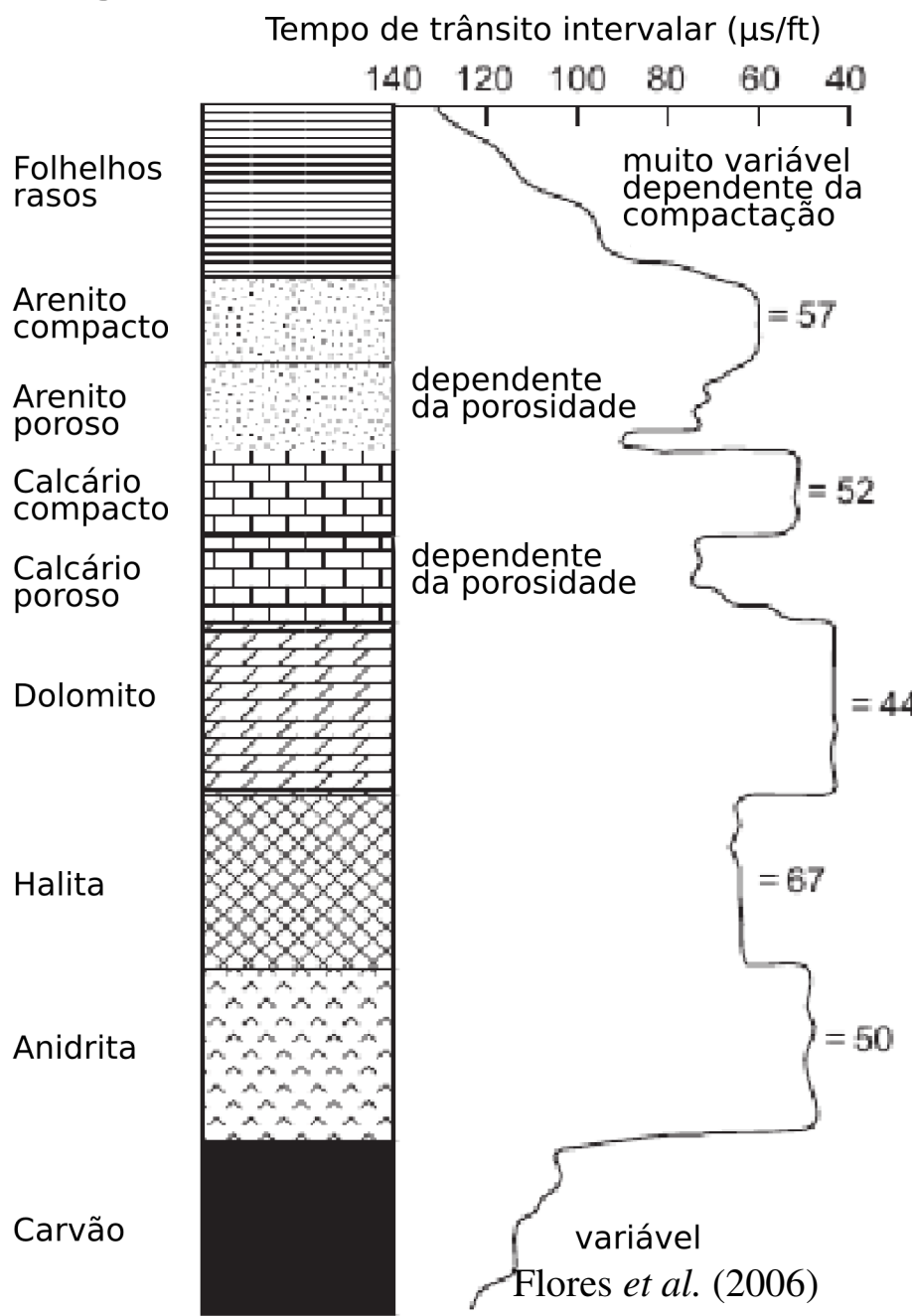
ou ***delay time*** (DT)



*Velocidades de rochas (V) e os Tempos de trânsito ( $\Delta tm$ ) dos principais tipos de rochas sedimentares, não porosos e Fluidos.*

MEIO	VELOCIDADE SÔNICA	TEMPO DE TRÂNSITO
	(ft/s)	( $\mu$ s/ft)
ARENITO	18.000 - 19.500	55,5 - 51,2
CALCÁRIO	21.000 - 23.000	47,6 - 43,5
DOLOMITA	23.000 - 26.000	43,5 - 38,5
ANIDRITA	20.000	50,0
SAL	15.000	67,0
ARGILA	6.000 - 16.000	167,0 - 62,5
ÁGUA	5.000 - 5.300	200,0 - 189,0
PETRÓLEO	4.300	232,0
FERRO	17.500	57,0
ÁGUA SALGADA: 189 $\mu$ seg/ft		
ÁGUA DOCE: 200 $\mu$ seg/ft		

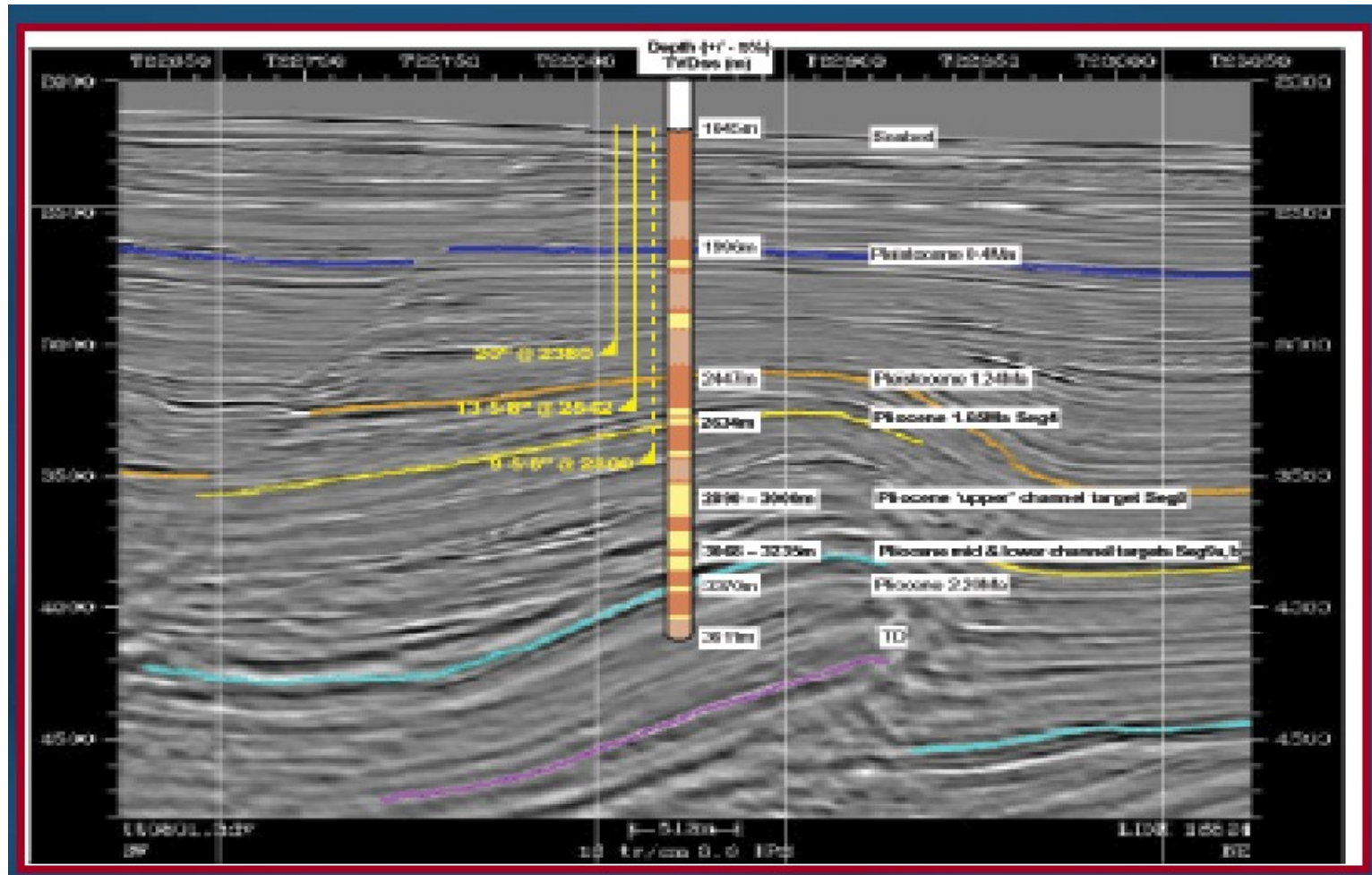
(Soeiro, 2005)

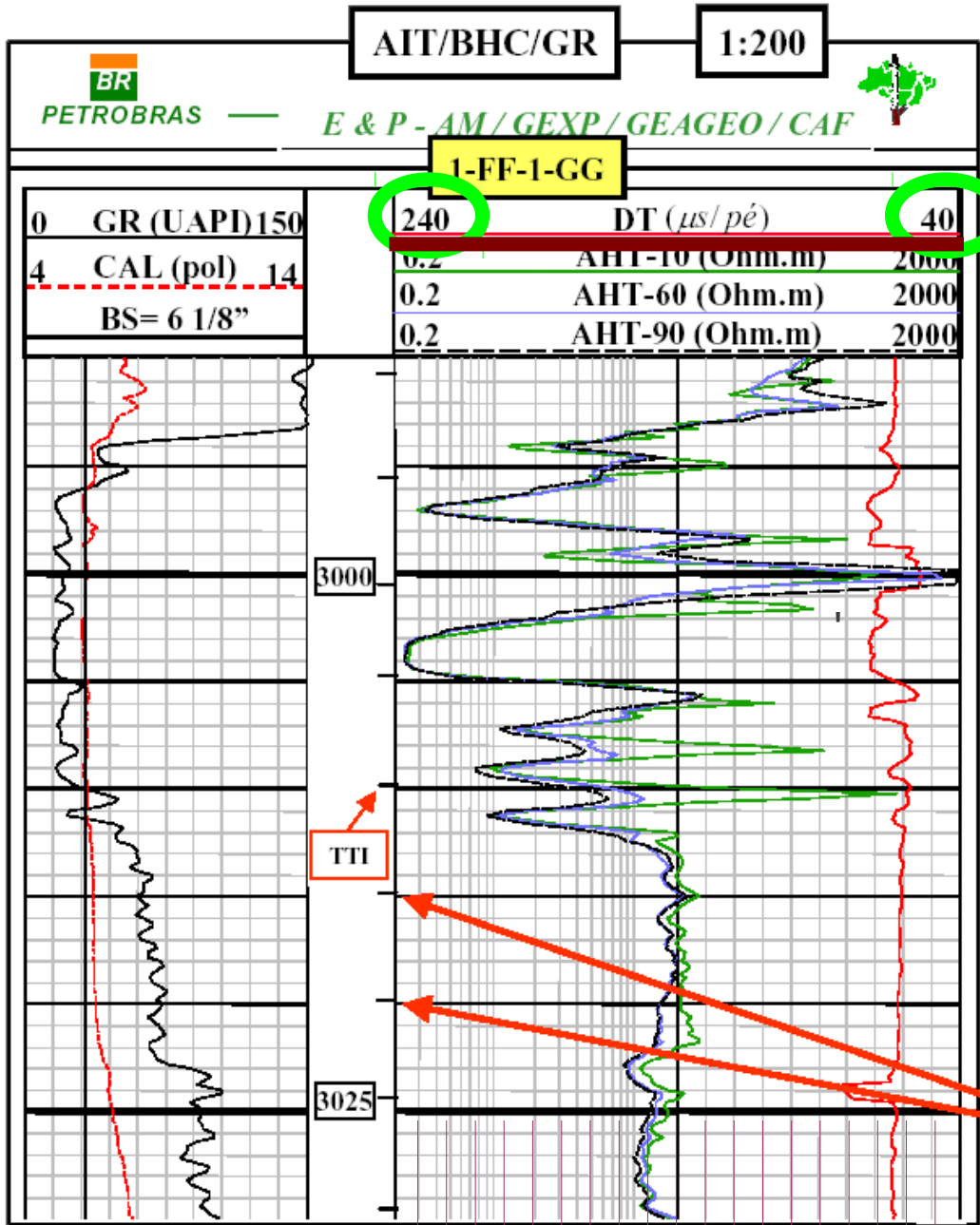
**Perfil Sônico**

Quanto menor o tempo de trânsito, mais densa é a rocha (menos porosidade)

## *Perfil Sônico e Calibração Sísmica*

O perfil sônico posiciona a geologia na sísmica, utilizando o tempo de trânsito integrado (TTI), e ajuda a caracterizar importantes superfícies.





## APRESENTAÇÃO DO PERFIL SÔNICO

### PISTA 4

Tempo de Trânsito Integrado-TTI posicionado ao lado direito da pista de profundidade. Para se testar se o integrador está bem calibrado, lê-se em um intervalo de tempo de trânsito aproximadamente constante o valor de DT e, a distância entre dois “pips” é definida como:

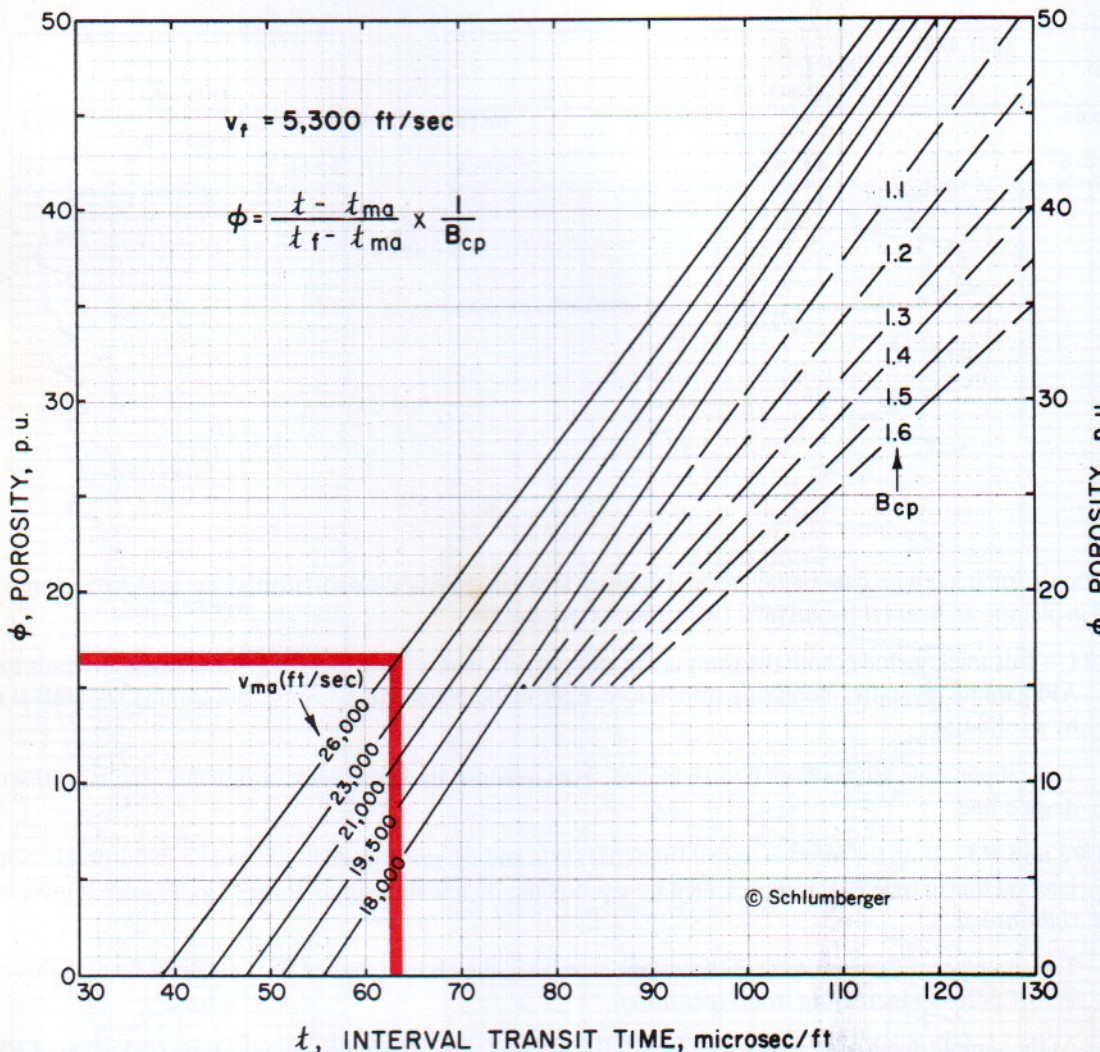
$$D = \frac{304,8}{DT}$$

$$D = \frac{304,8}{60} = 5,08\text{m}$$

Soeiro (2005)

# POROSITY EVALUATION FROM SONIC

## POROSITY EVALUATION FROM $t$



	$v_{ma}$ (ft/sec)	$t_{ma}$ (microsec/ft)
Sandstones	18,000-19,500	55.5 - 51.3
Limestones	21,000-23,000	47.6 - 43.5
Dolomites	23,000-26,000	43.5 - 38.5

Inclinação  
da reta

Tempo de Trânsito  
da matriz (Rocha)

$$\phi t = 0,625 \times \left( \frac{\Delta t - \Delta t_m}{\Delta t} \right)$$

Tempo de Trânsito  
lido

Asquish and Gibson (1982)

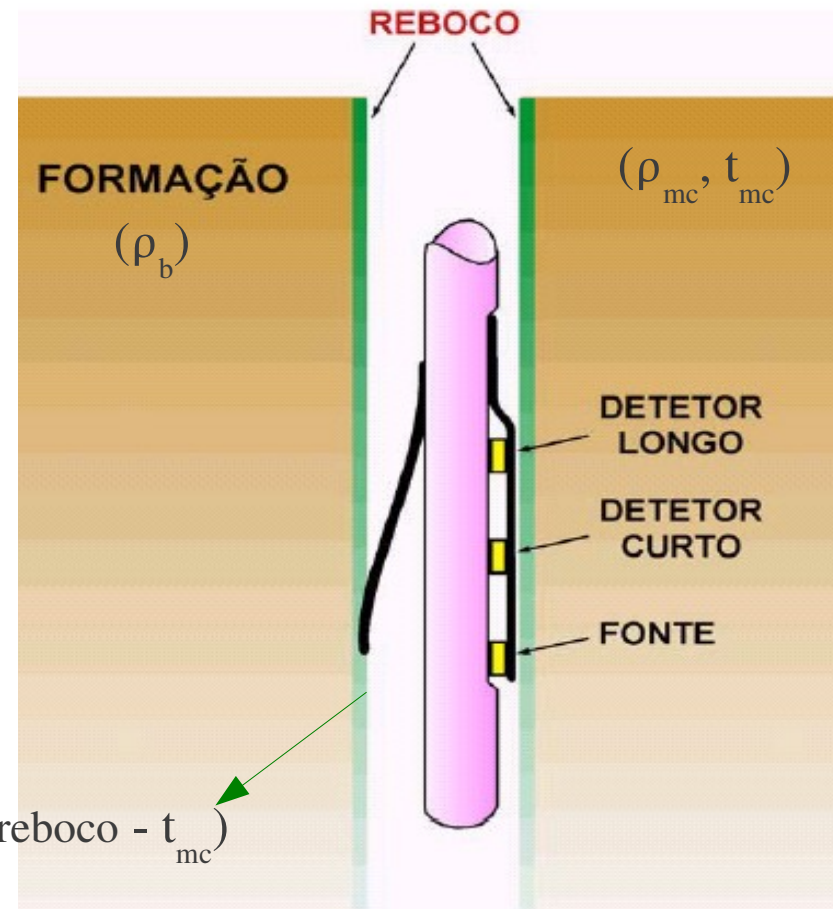
## *Perfil de Densidade – FDL (Formation Density Log)*

- A densidade da rocha depende:
  - a) da densidade da parte sólida da rocha (grãos, cimento, argila)
  - b) da porosidade
  - c) da densidade dos fluidos presentes nos poros

## *Perfil de Densidade – Princípio*

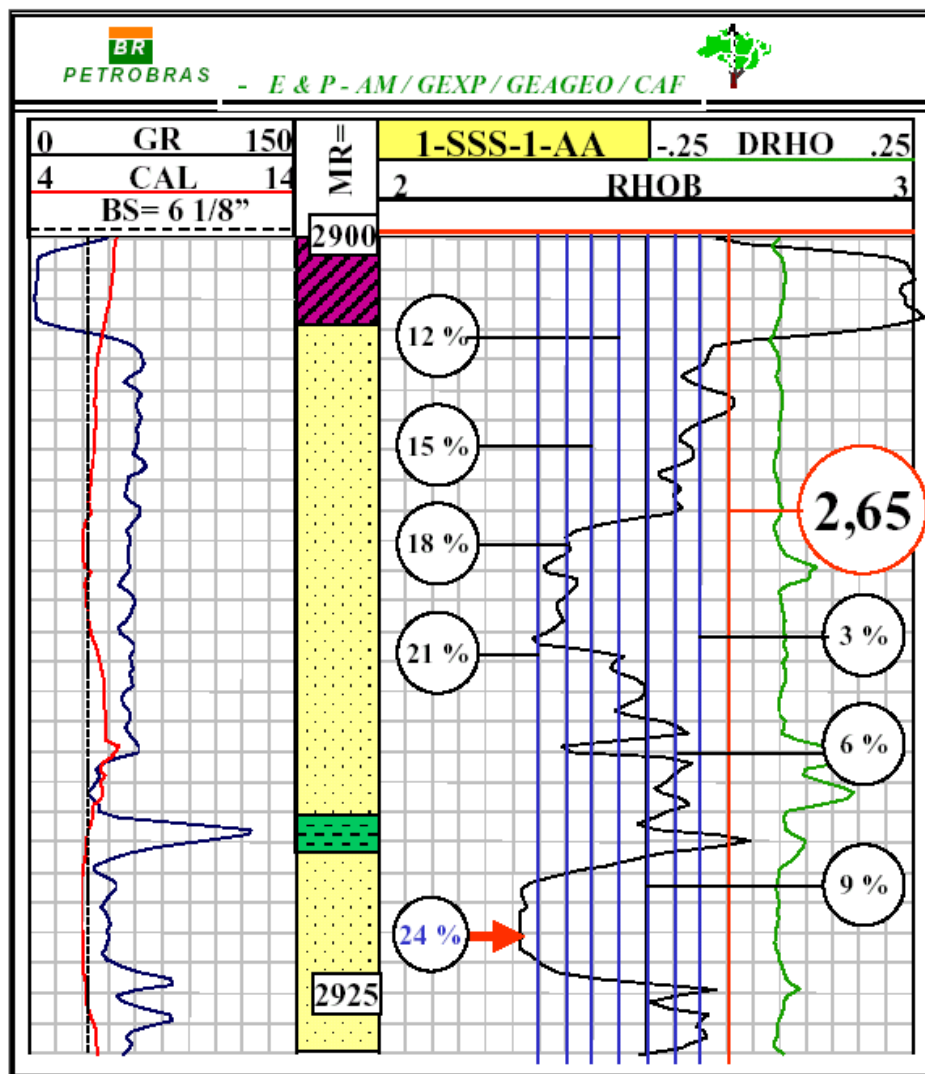
- Uma fonte radioativa (Césio-137) é aplicada na parede do poço, emitindo raios gama, que interagem com os elétrons dos átomos da formação.
- Ocorre a perda de energia dos raios gama com a colisão.

- Após sofrerem dispersão, são captados por dois detectores (próximo e distante), que fornecem informação sobre a densidade da rocha.



Quanto mais densa a formação (rocha), mais elétrons ela possui e mais raios gama de espalhamento são detectados

# PERFIL DE DENSIDADE



## Leitura de Porosidade Direta no Perfil sem Correção

- Passos**
- 1-Identificar a Densidade da Matriz
  - 2-A partir desta, cada linha à esquerda vale 3% de unidade de porosidade.

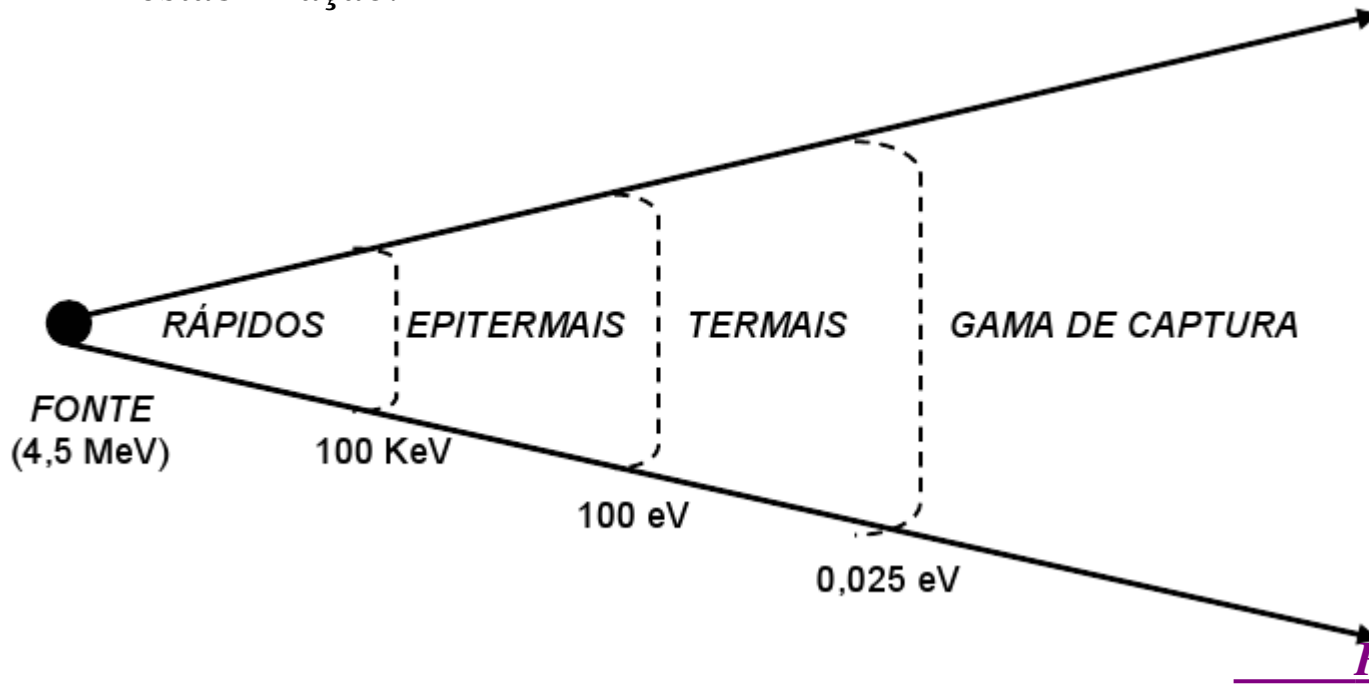
$$\rho_b(g/cm^3)$$

Quartzo 2,65

Calcita 2,71

# *Perfil Nêutrons*

- Nêutrons (emitidos pela ferramenta)
- Perda da energia por colisões inelásticas e elásticas (perda de energia é maior com núcleos de massa praticamente igual ao seu - ex. Núcleo de H).
- Ao atingirem a velocidade e a energia termal do meio ( $0,025\text{ eV}$  – elétrons Volts), difundem-se erraticamente (sem mais perda de energia), até serem capturados por qualquer núcleo (H, Cl, B, etc).
- O núcleo que o captura é excitado e emite raios gama de alta energia, até sua estabilização.



*Perfil. Básicas: Nêutrons*

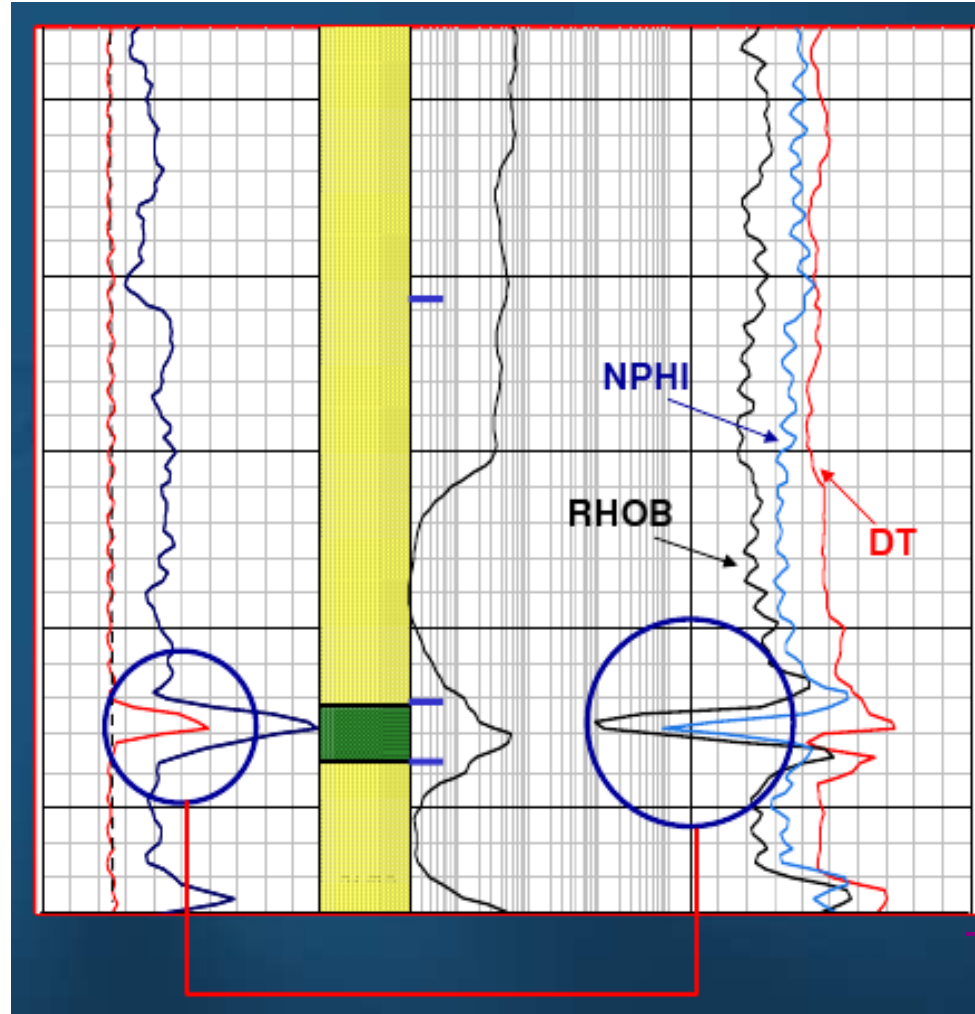
QUANTO MAIOR O ÍNDICE DE “H”, MENOR É A CONTAGEM  
DE NÊUTRONS TERMAIS NOS RECEPTORES

ASSIM, INTERPRETA-SE UM MAIOR VALOR DA  
POROSIDADE

(influenciada pela quantidade de H)

## CUIDADO:

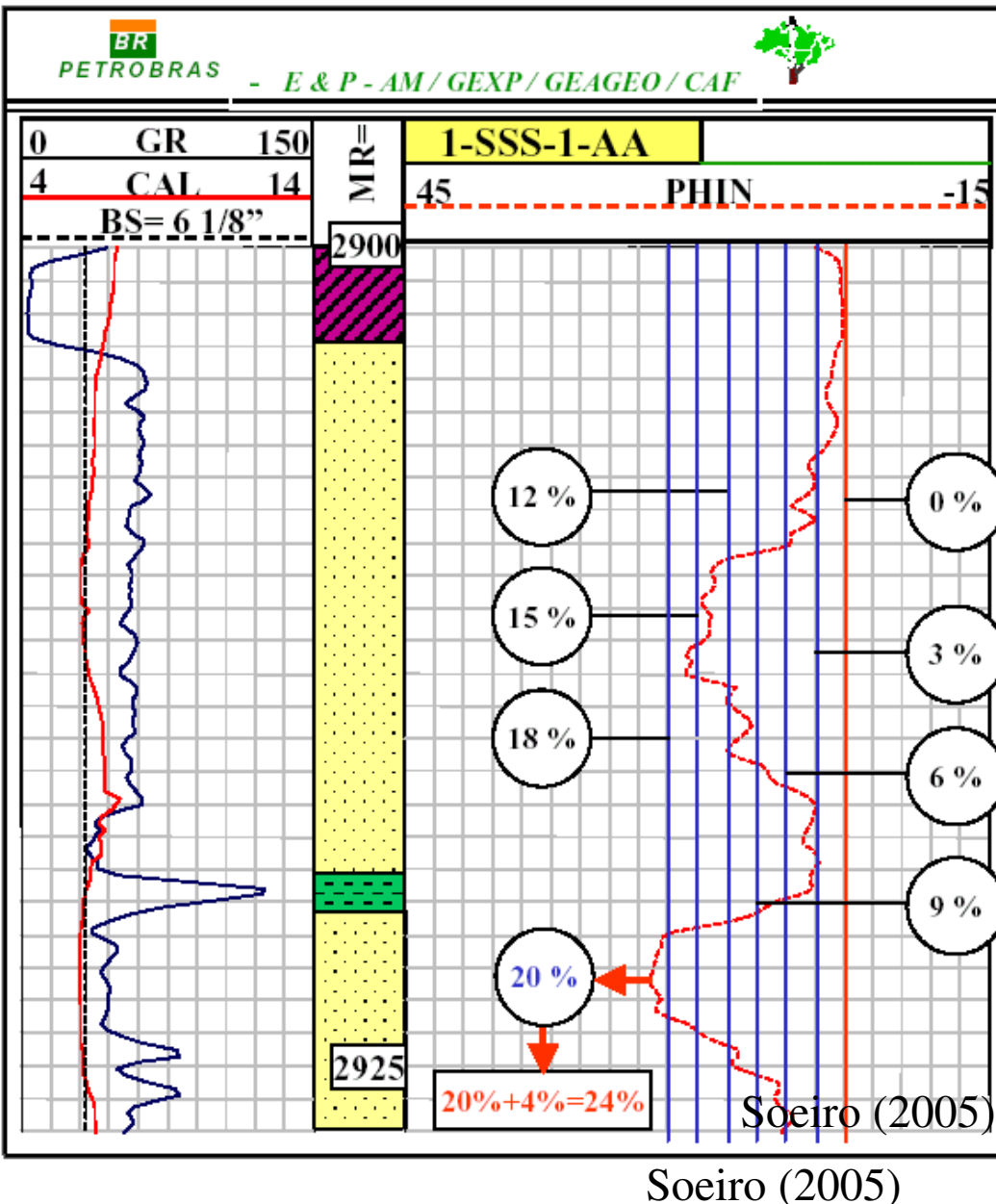
- Os elementos **Boro, Cd, Cl e Ba** (*elementos absorvedores*)-porosidades > a 30% e as concentrações das águas maiores do que 50Kppm de NaCl.
  - O Cloro (**Cl**) chega a ser 100 vezes mais absorvedor que o **H**.
  - Folhelhos e argilas possuem muita água estrutural.



Soeiro (2005)

Perfil. Básicas:  
Nêutrons

# PERFIL NEUTRÃO



## LEITURA DE POROSIDADE PASSOS

- 1-) A escala é de porosidade
- 2-) Determinar o zero de porosidade
- 3-) Cada linha vertical equivale a 3% de porosidade.
- 4-) O valor lido do ponto assinalado é 20%.
- 5-) Como a ferramenta é calibrada para calcário, temos que adicionar mais 4 % ao valor lido. Portanto a porosidade real é 24%.

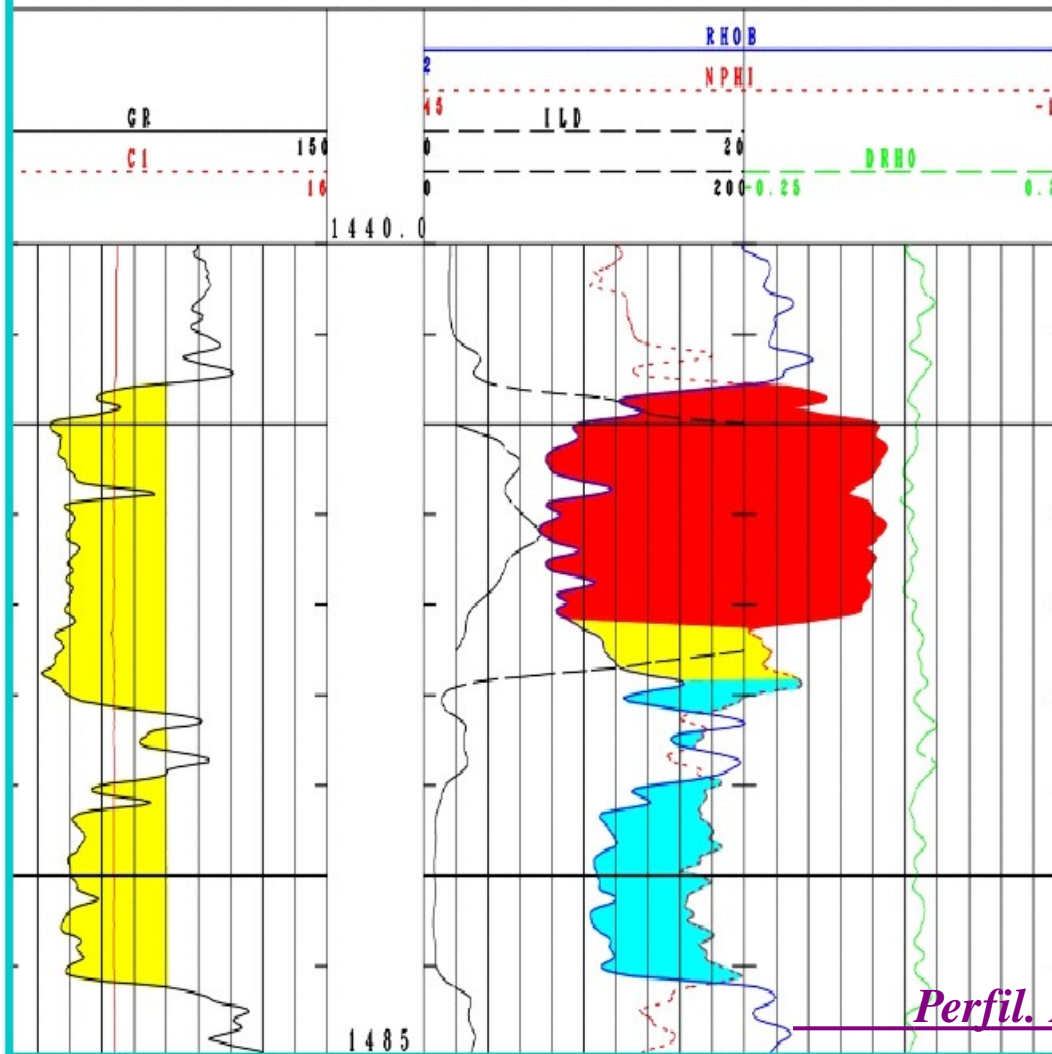
## ***Detecção de Gás***

A ferramenta de nêutrons, comparada com a de densidade, é utilizada na identificação da presença de hidrocarbonetos leves nas rochas reservatórios.

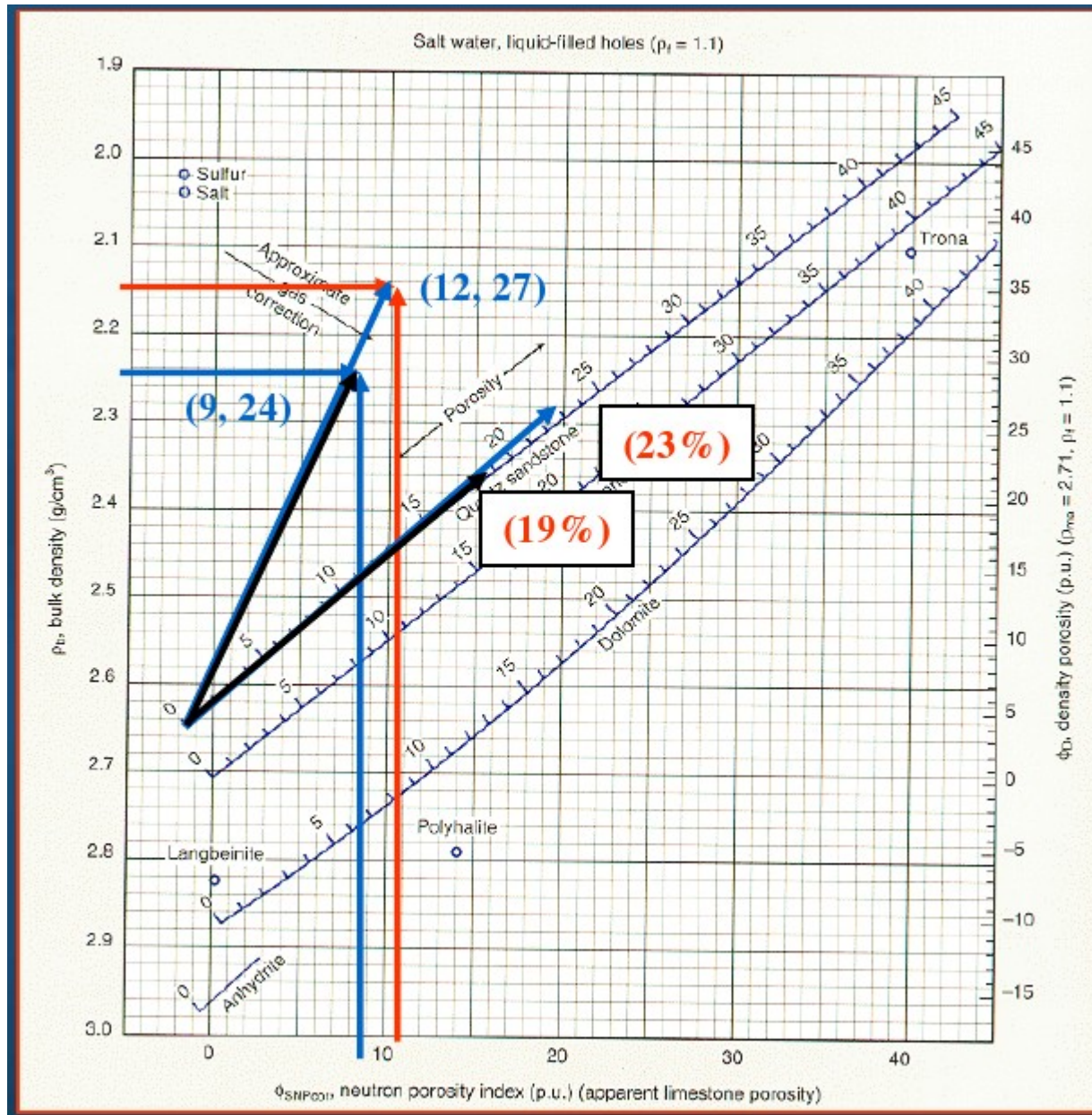
# COMPOSITE

POCO:

ESCALA: 1/500



# Correção da Porosidade – Efeito de Gás

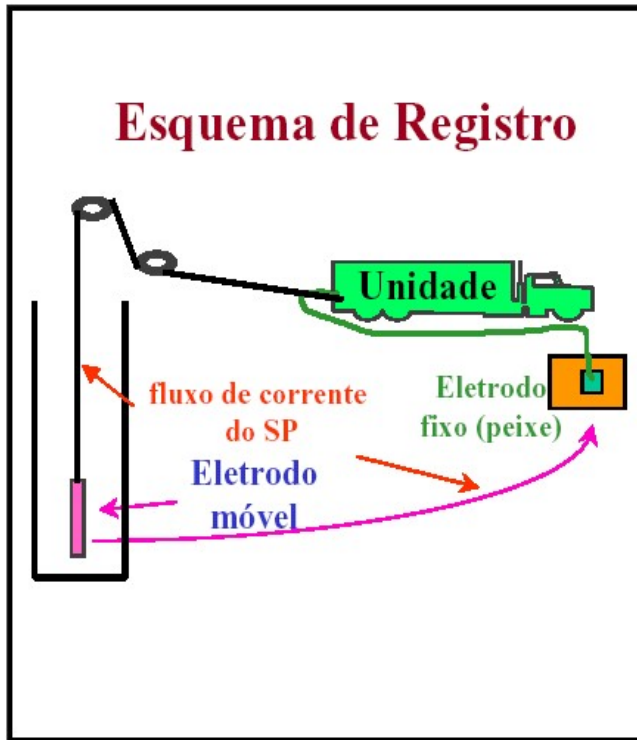


## **Potencial Espontâneo (SP)**

### **Perfis de Resistividade**

## *Perfis de Potencial Espontâneo (SP)*

- O Cloreto (mais solúvel) migra mais rápido de um fluido concentrado para o outro mais diluído.
- A corrente (eletroquímica) se propaga pelos fluidos intersticiais existentes nos poros.
- Quando o equilíbrio salino é estabelecido, cria-se um diferencial de carga.

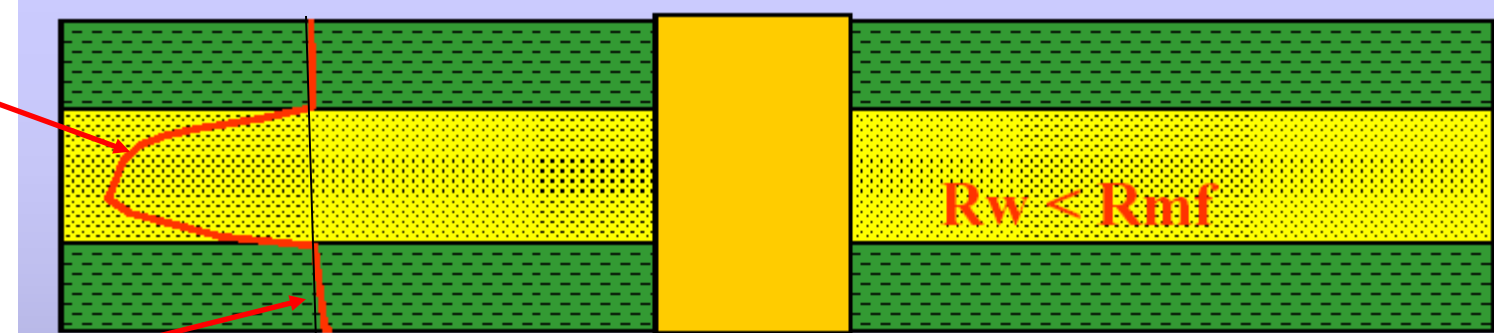


**SP**  
**É um registro da diferença de potencial entre dois eletrodos: um móvel dentro do poço e outro fixo, na superfície**

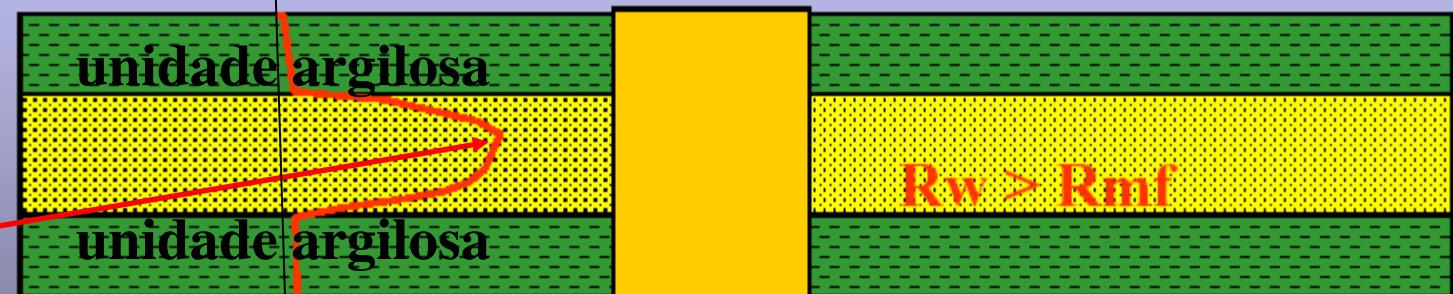
# Deflexão da Curva SP

A deflexão é proporcional à diferença de resistividade entre o fluido de perfuração e o fluido da formação.

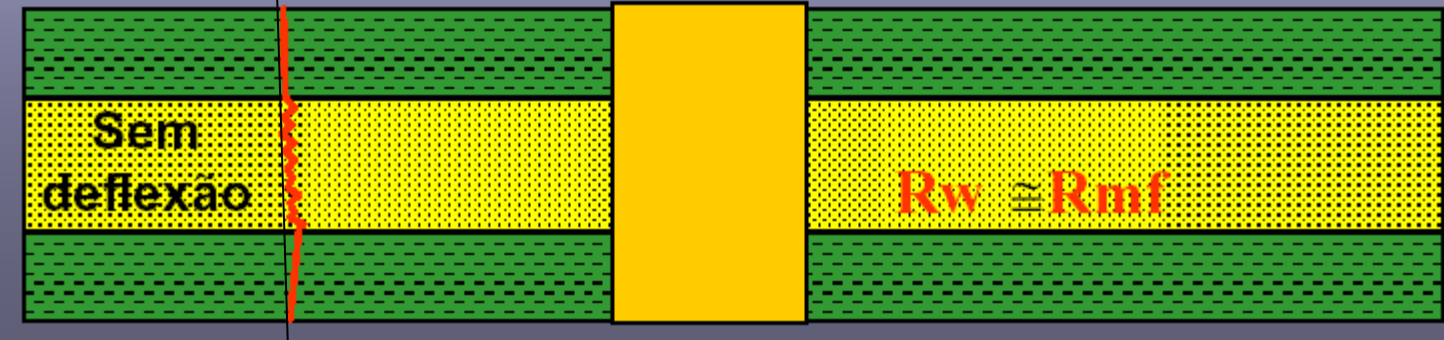
Deflexão negativa



Linha base do folhelho



Deflexão positiva



Soeiro (2005)

$R_w$ : resistividade do fluido da formação

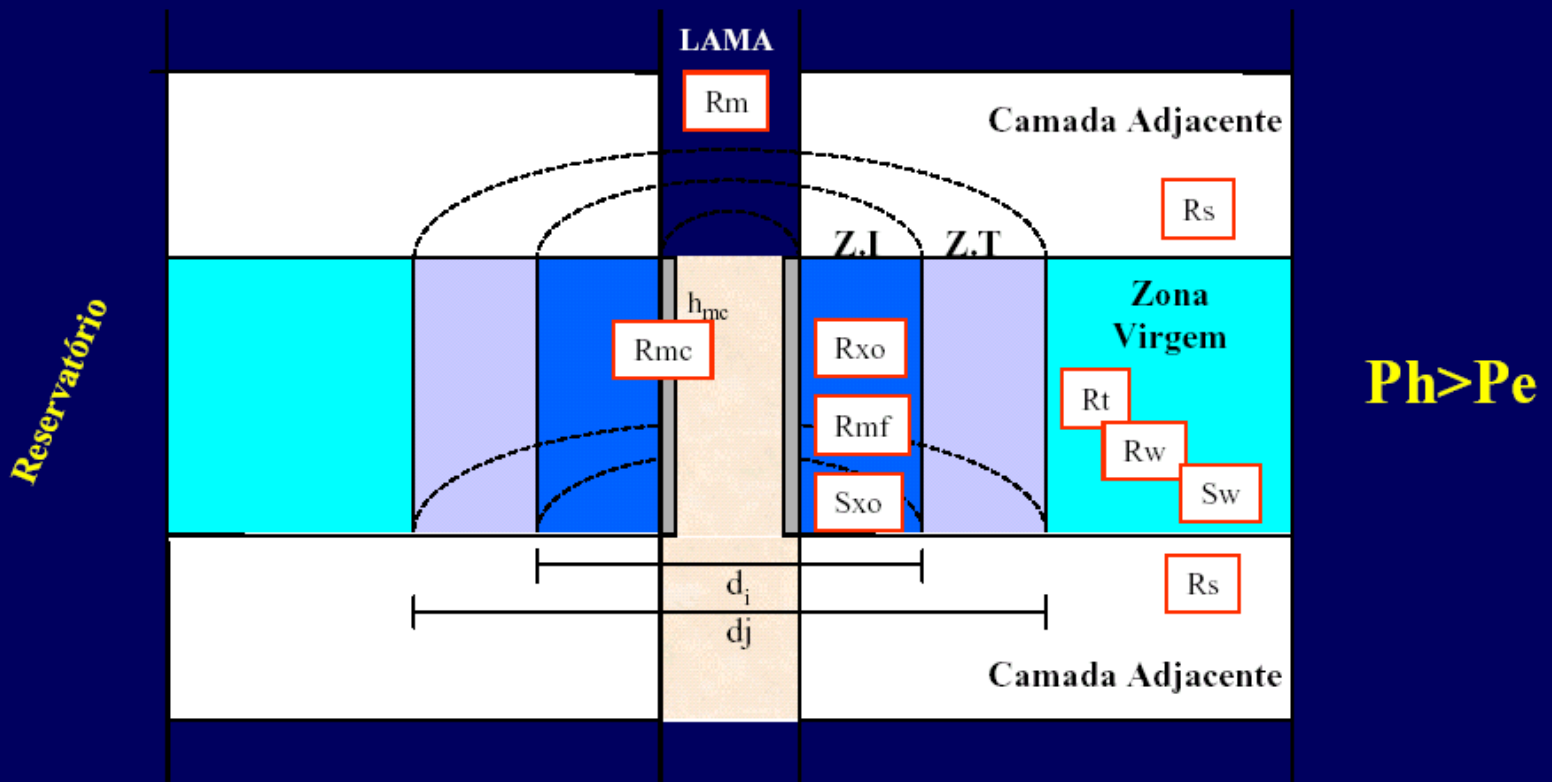
$R_{mf}$ : resistividade do filtrado (fluido de perfuração)

Perfis Elétricos: Potencial Espontâneo

## *Perfis de Resistividade*

- Obter  $R_t$  (resistividade da formação)
- Avaliar heterogeneidades de reservatórios
- Indicação qualitativa de permeabilidade
- Medir resistividade da água da formação ( $R_w$ ) – obter a composição dos fluidos dos poros
- Calcular saturação de água ( $S_w$ )
- Identificação de zonas portadoras de hidrocarbonetos
- Contatos entre fluidos

## Ambiente de Poço – aquisição de parâmetros



Rm=Resistividade da Lama

Rmc=Resistividade do Reboco

Rmf=Resistividade do Filtrado

Rxo=Resistividade da Zona Lavada

Rw=Resistividade da Água

Rt=Resistividade da Formação

hmc=Espessura do Reboco

Rs=Resistividade da Camada Adjacente

Sxo=Saturação da Zona lavada

Sw=Saturação de Água

# *Tipos de Perfilagem de Resistividade*

- As ferramentas de medição de resistividade são configuradas para medir a resistividade da formação em diferentes distâncias (profundidades) dentro da formação (da rocha).

**1- Elétrico convencional**

**2- Perfil de Indução (Bobina)**

**3- Perfil com Eletrodos Focados (Latero-Perfil)**

**4- Microresistividade**

## Tipos de Perfis de Indução

### **1- Indução Elétrica – IEL**

curvas Profunda (40''), Rasa (16'') e curva SP

### **2- Indução Esférico Focalizado – ISF**

curvas Ild (profunda) e Sflu (rasa)

### **3- Dupla Indução – DIT / DIL – poços com arrombamento**

curvas Ild (profunda), Ilm (média) e Sflu (rasa)

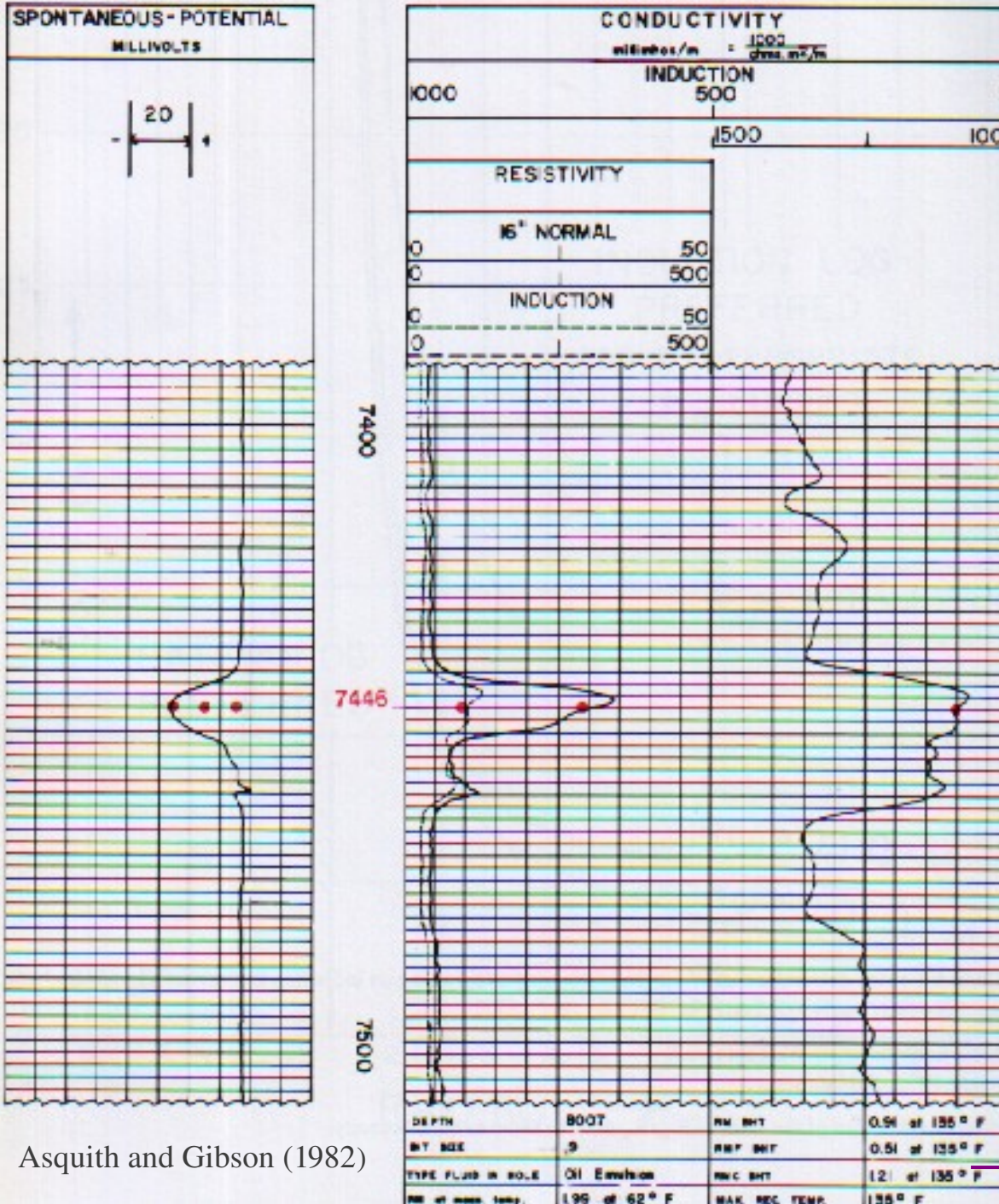
### **4- Array Induction Imager Tool – AIT**

5 curvas com diâmetros de investigação (10'', 20, 30'', 60'' e 90'')

## *Exemplo de perfil de Indução Elétrica*

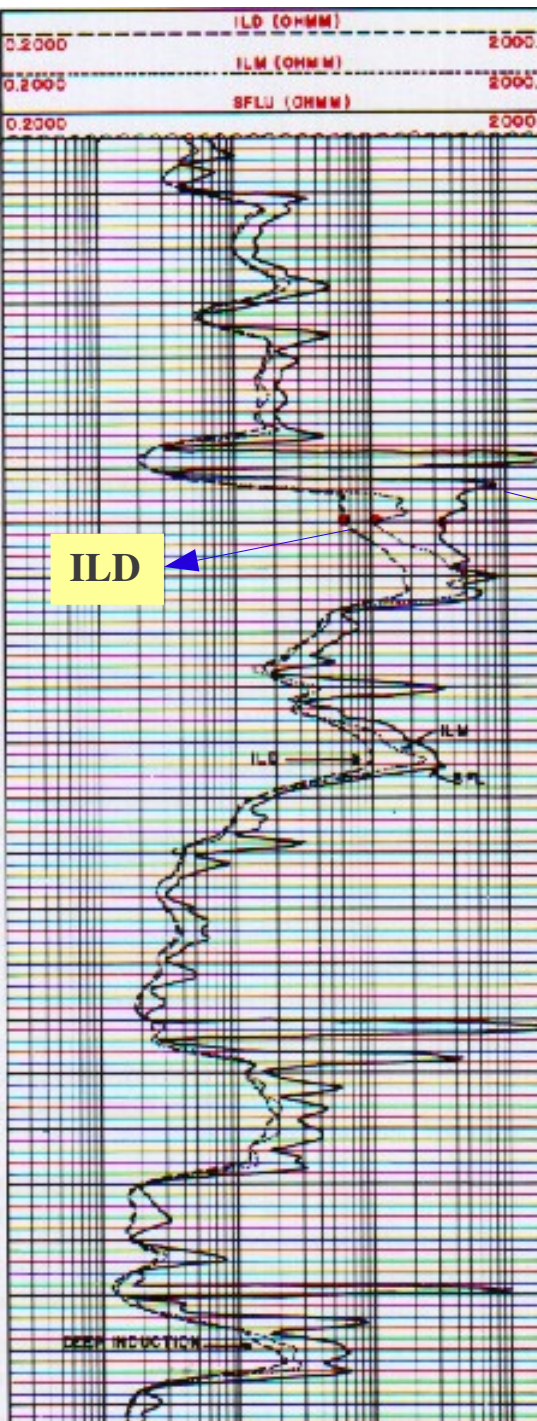
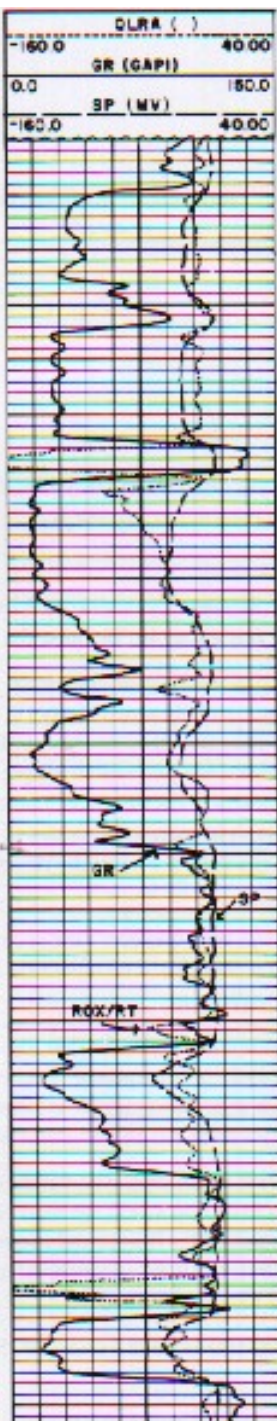
- O Perfil de Indução Elétrica é geralmente usada quando  $R_{mf} \gg R_w$ .

- Pista 1: Perfil SP.
- Pista 2: Indução Elétrica
- Pista 3: Condutividade



Asquith and Gibson (1982)

*Perfis Elétricos: Resistividade*



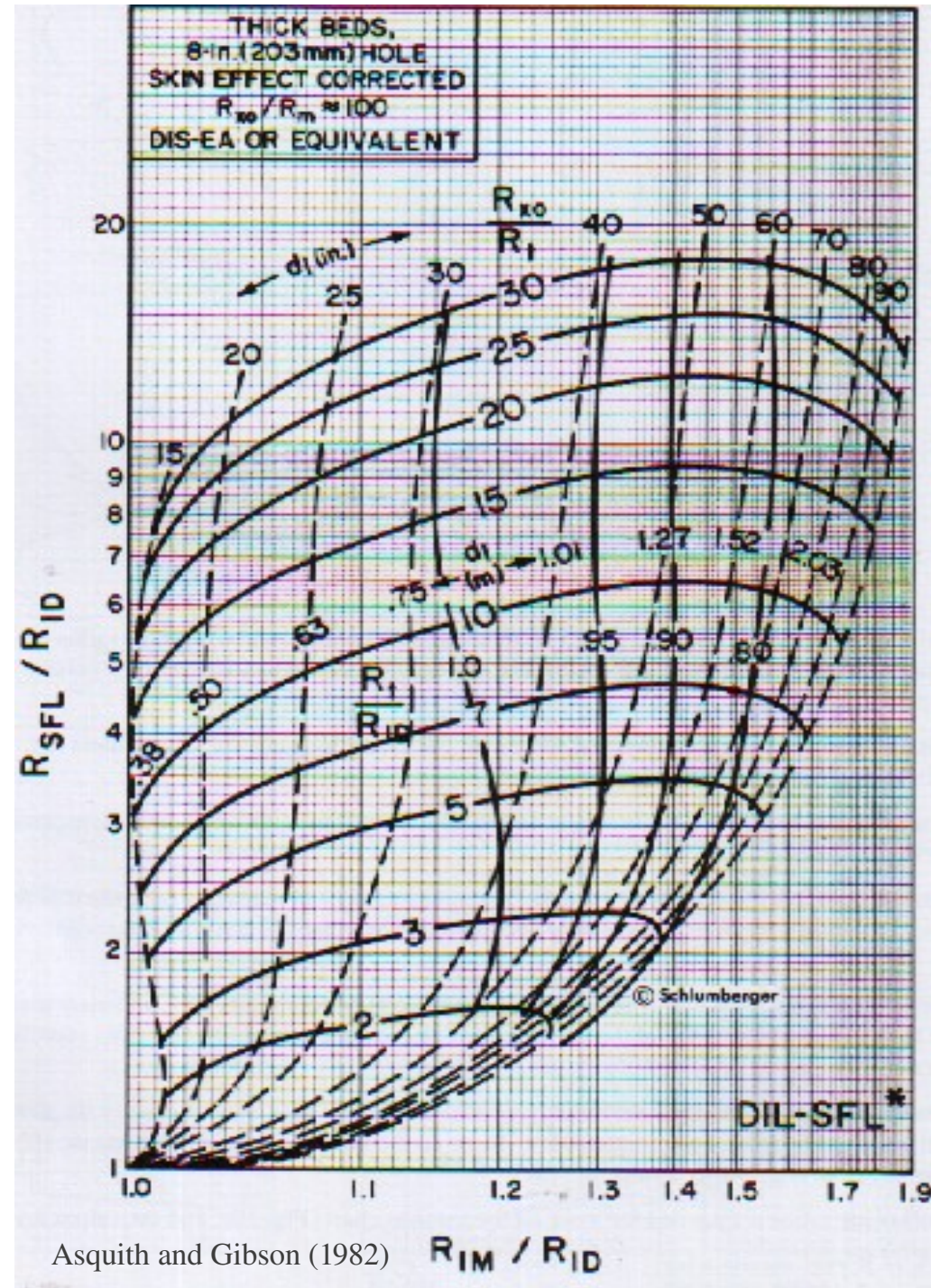
## Exemplo de perfil de Dupla Indução Focada

Asquith and Gibson (1982)

***Nota:***

Os valores de resistividade obtidos nestas três curvas correspondem à resistividade em uma dada profundidade ( $R_{ILD}$ ).

Estes valores são corrigidos, sendo plotados no **Gráfico de Tornado** e, então, obtem-se a resistividade verdadeira da formação ( $R_t$ ).



## **Valores corrigidos de Rt e Rxo:**

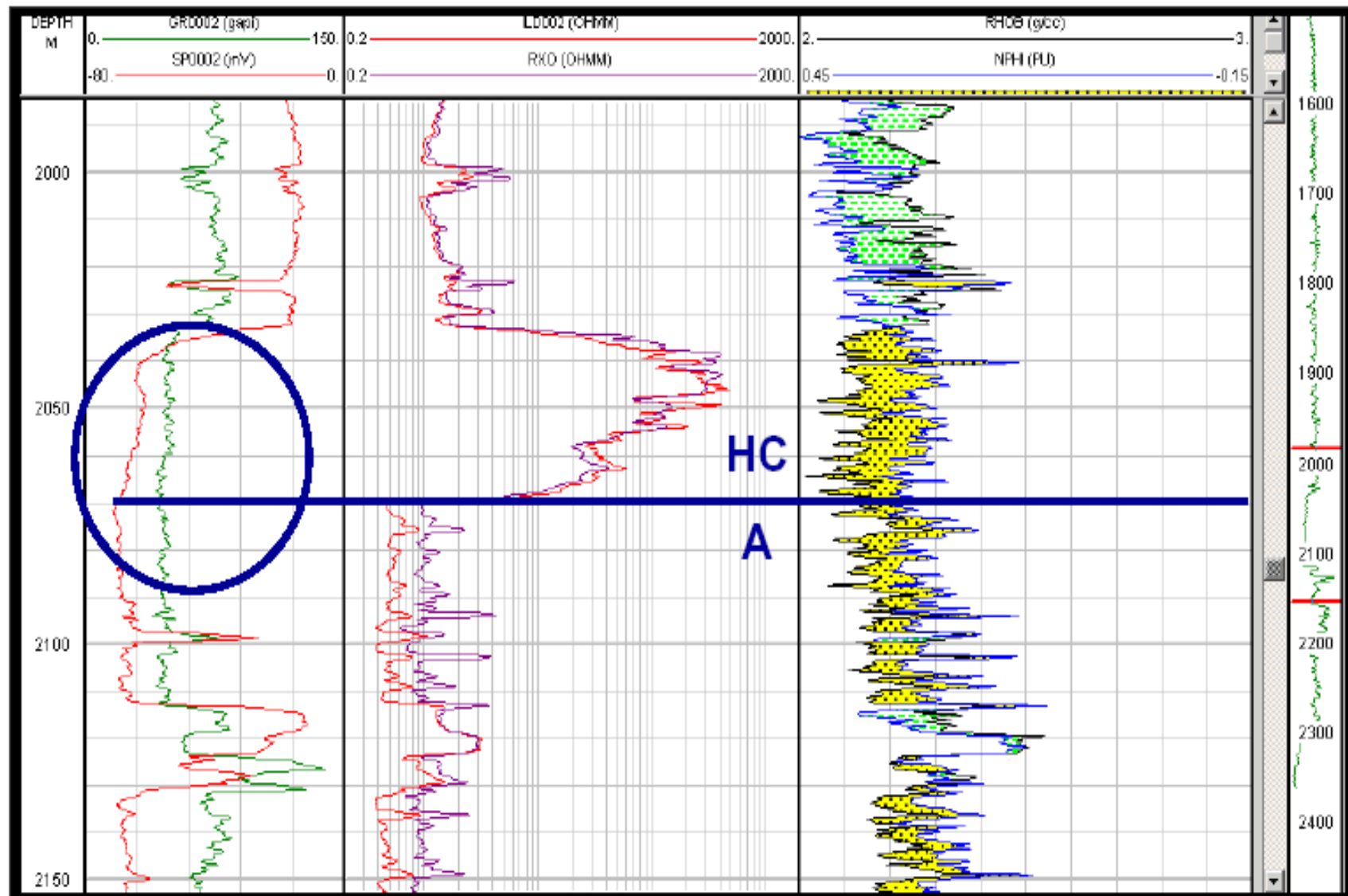
a) Valor de  $R_t$  corrigido:

$$(R_t / R_{ILD}) \times R_{ILD}$$

**b) Valor de Rxo corrigido:**

$$(R_{x0}/R_t) \times R_t$$

c) Determina o diâmetro de invasão (di).

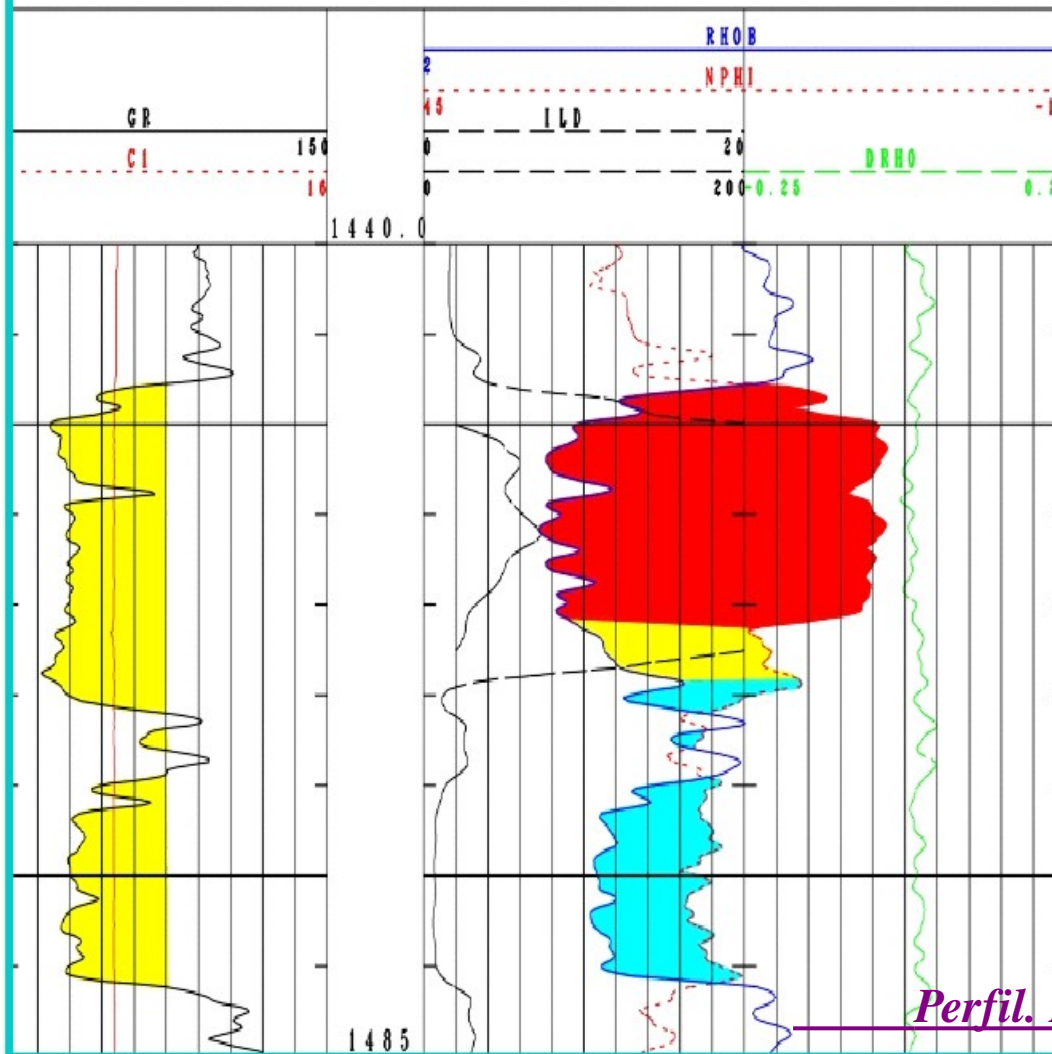


*Perfis Elétricos: Resistividade*

# COMPOSITE

POCO:

ESCALA: 1/500



# **Perfilagens Especiais**

- Perfis de Mergulho - Dipmeter**
- Perfis de Imagem Resistiva**
- Perfis de Imagem Acústica**
- Pesfis de Ressonância Magnética Nuclear**

## *Perfis de Mergulho - Dipmeter*

- Fornece atitudes:
  - estruturas sedimentares
  - falhas
  - limite erosivo / litológicos.
- Direção e mergulho do poço, pelo clinômetro e magnetômetro (posicionados na ferramenta).

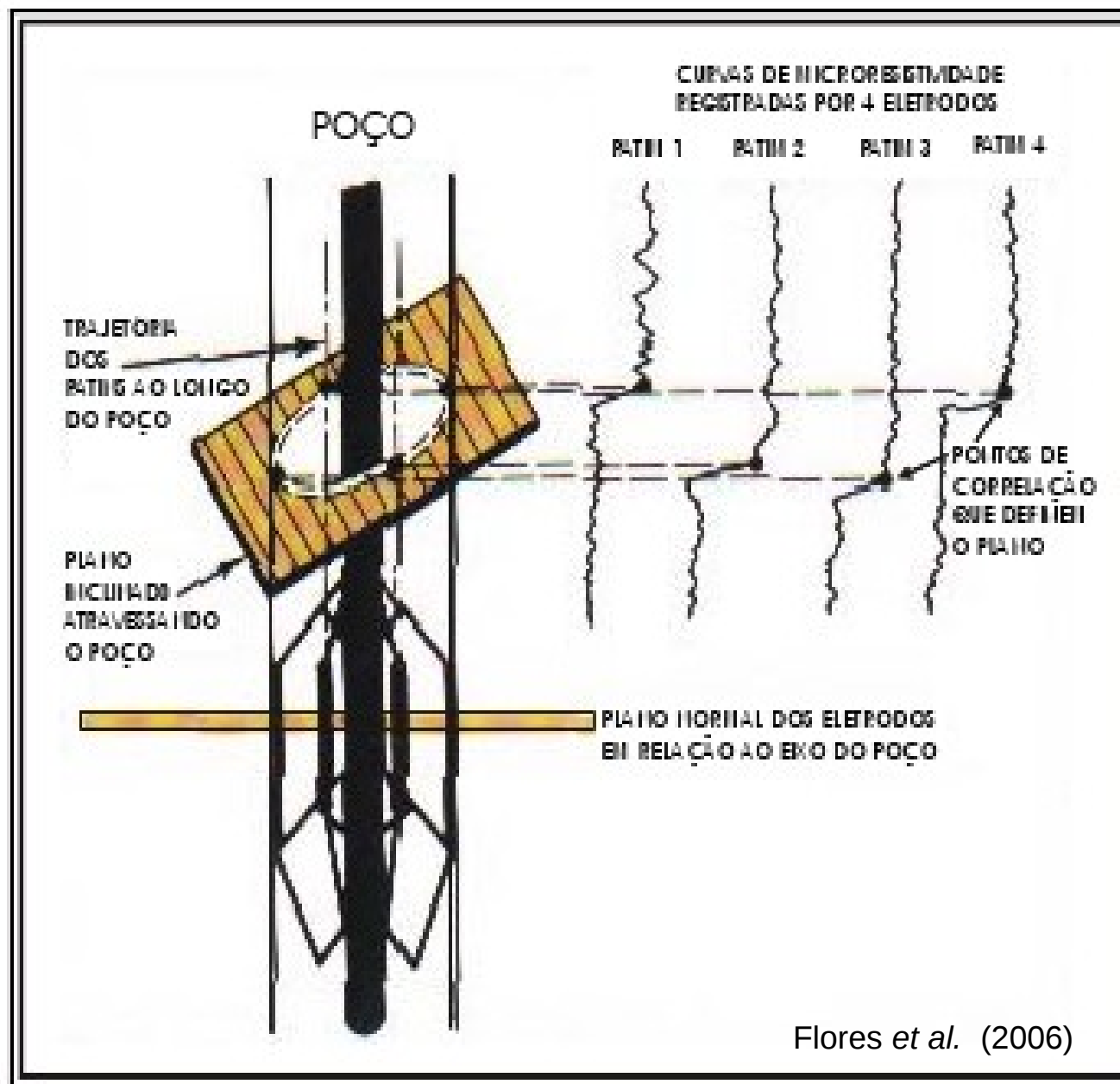
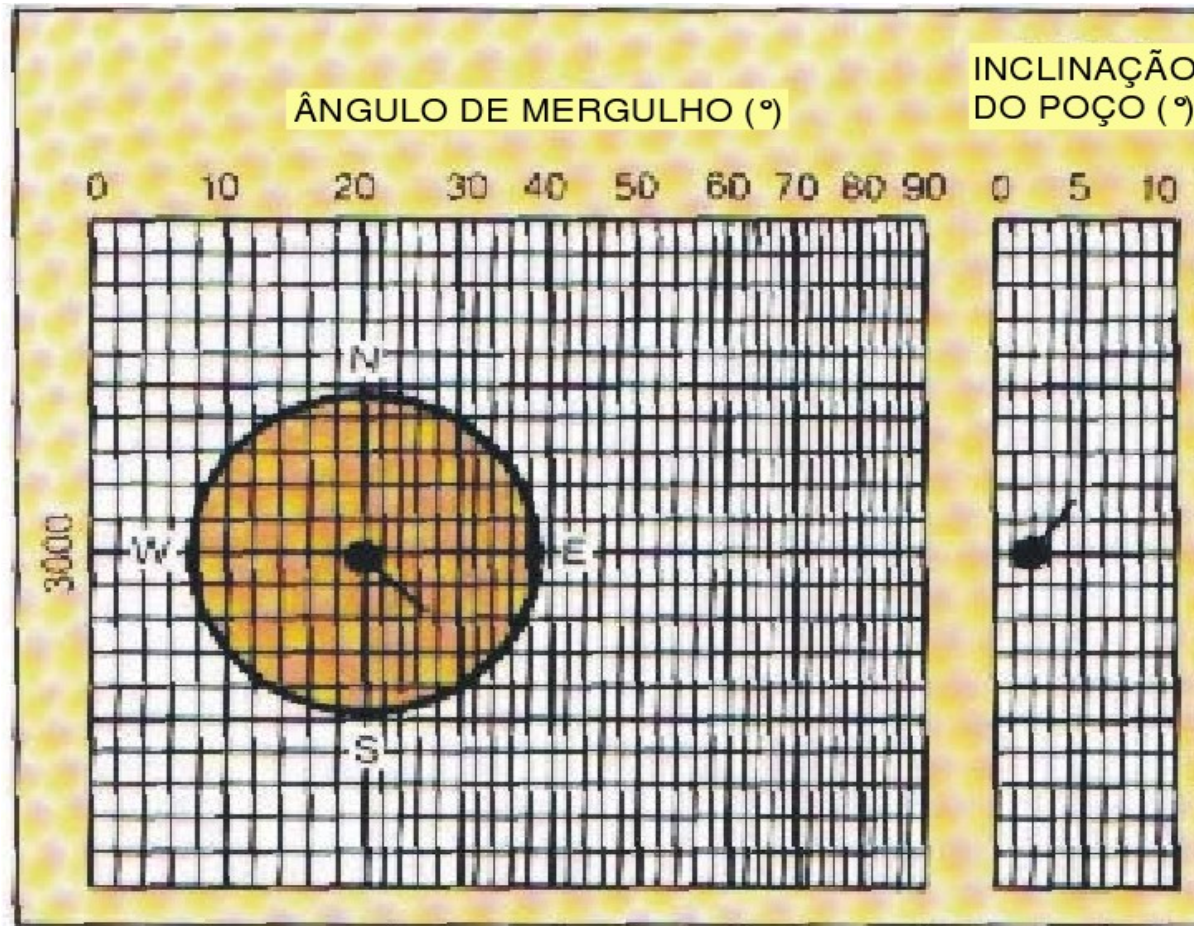


Figura 50 – Princípio da ferramenta *dipmeter*. Perfil Dipmeter

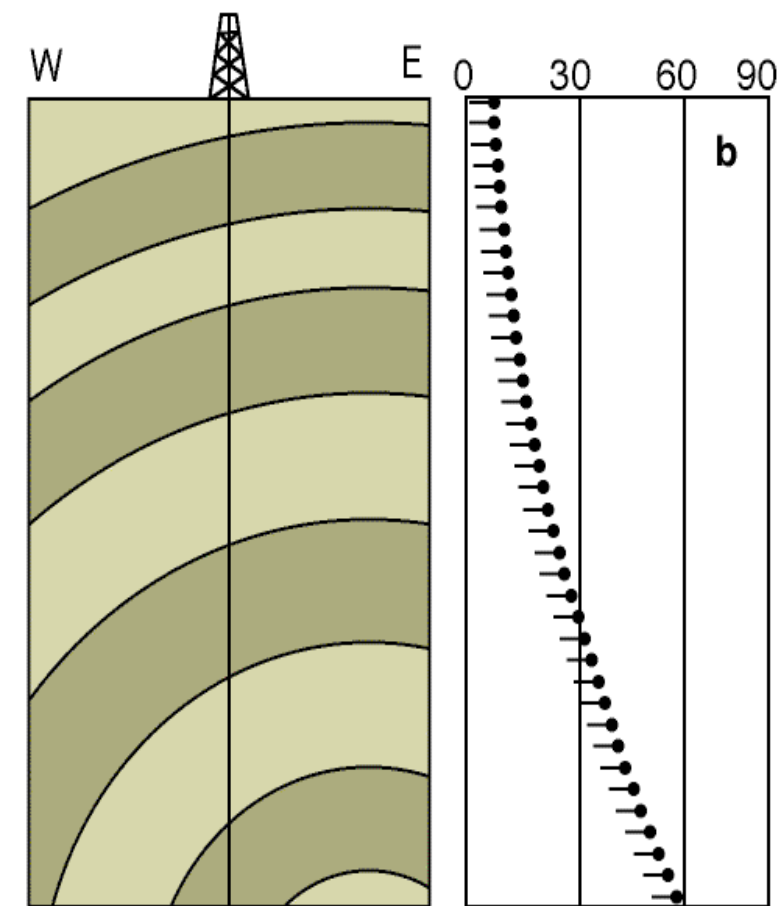
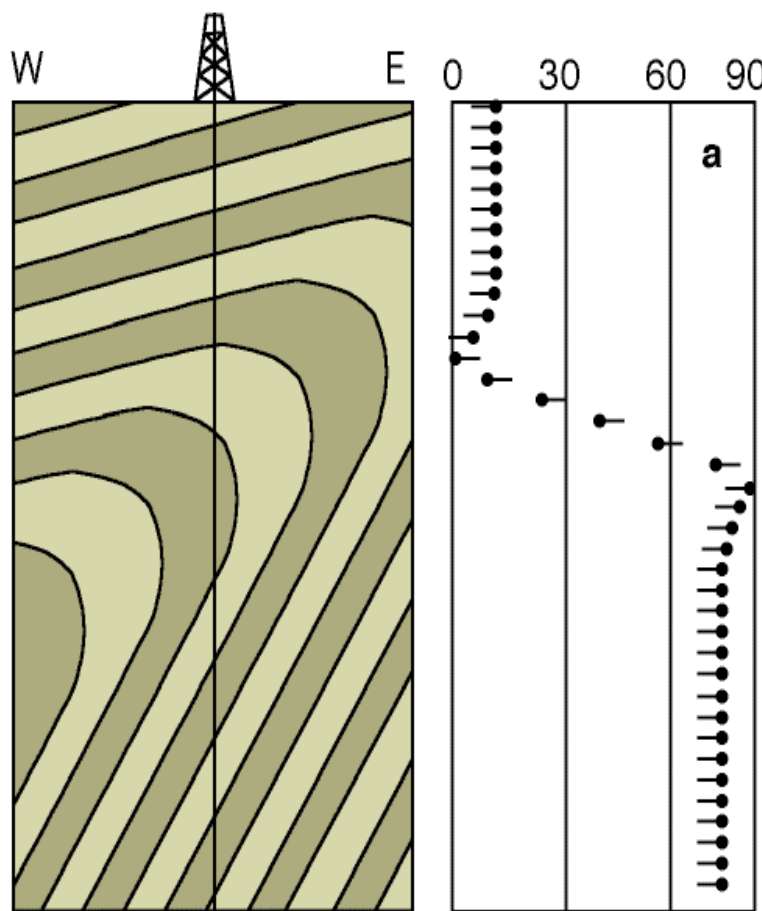
## Representação:

- A posição do círculo representa o ângulo de mergulho do plano e, o sentido da reta, a direção (em azimute). O mesmo é feito para a dir/merg do poço.

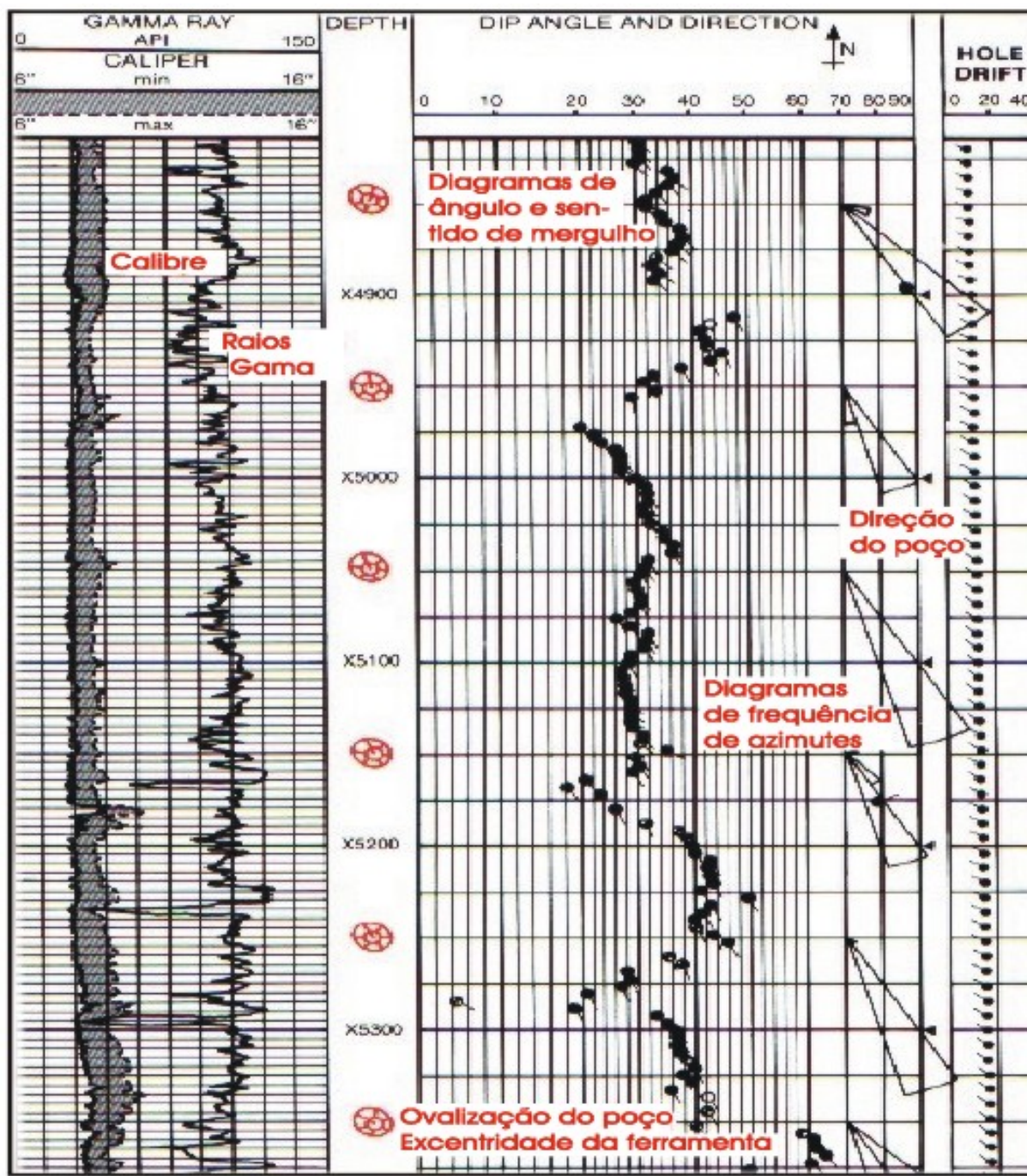


Flores et al. (2006)

Plano cortado por um poço (a 3.000 m de prof) com  $20^\circ$  de mergulho para a direção  $140^\circ$  (azimute). O poço possui mergulho de  $20^\circ$  e direção  $45^\circ$  (azimute).



Carrasquilla (2014)



Flores et al. (2006)

Figura 52 – Apresentação padrão do perfil dipmeter.

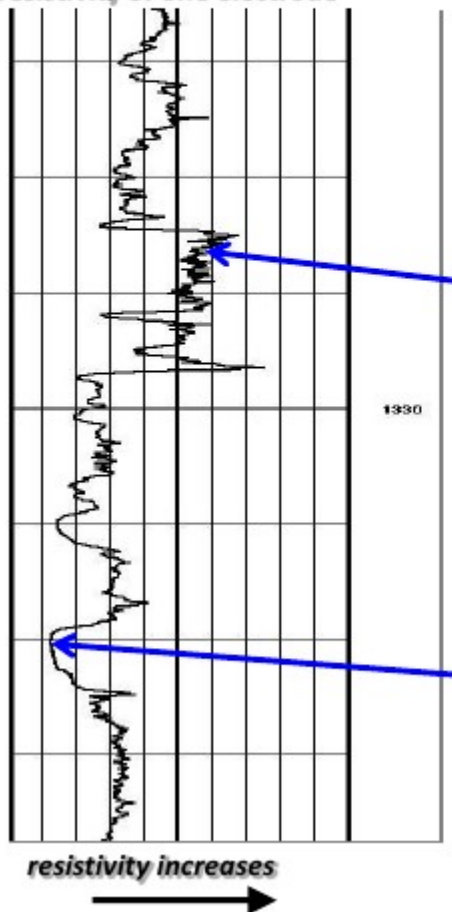
**Perfil Dipmeter**

## *Perfil de Imagens Resistivas*

- Estas ferramentas são o resultado do aprimoramento das ferramentas de dipmeter.
- Fornecem imagens das paredes do poço, a partir de variações de micro-resistividade, com resolução de 0,2 polegadas.

# A Different Way to Visualize Data

resistivity of one electrode



Higher  
Resistivity

=

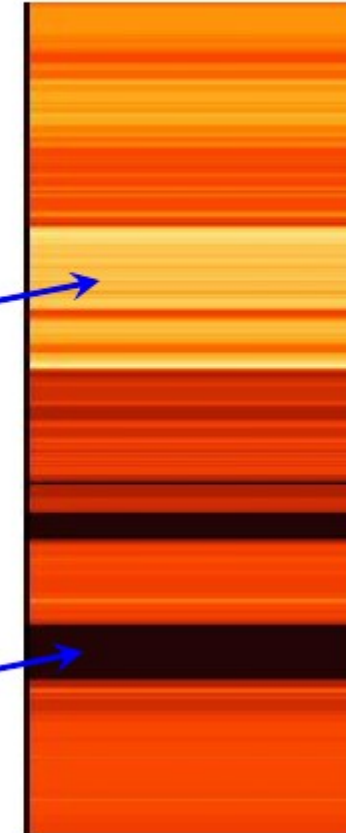
Lower  
Resistivity

=

Lighter  
Colors

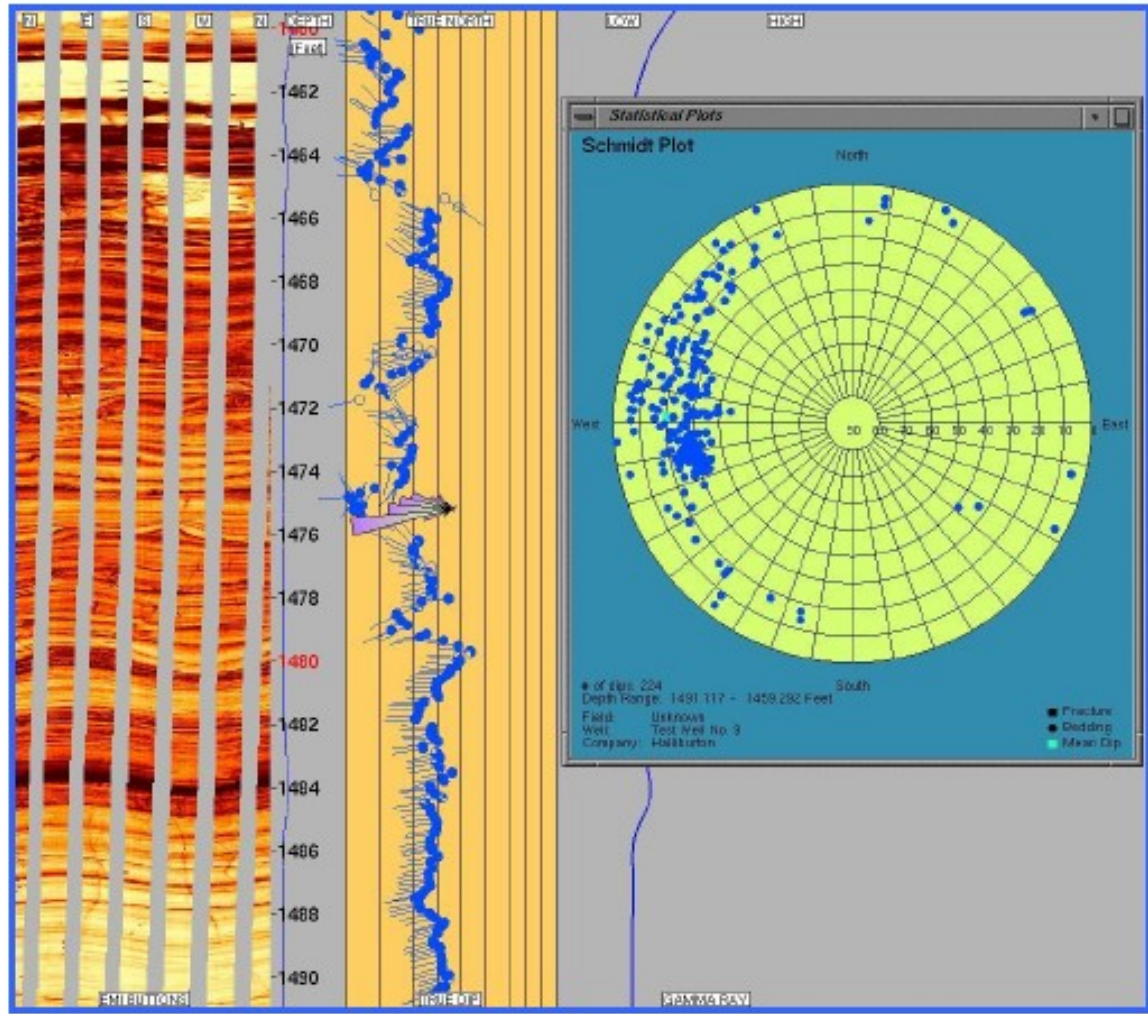


Darker  
Colors



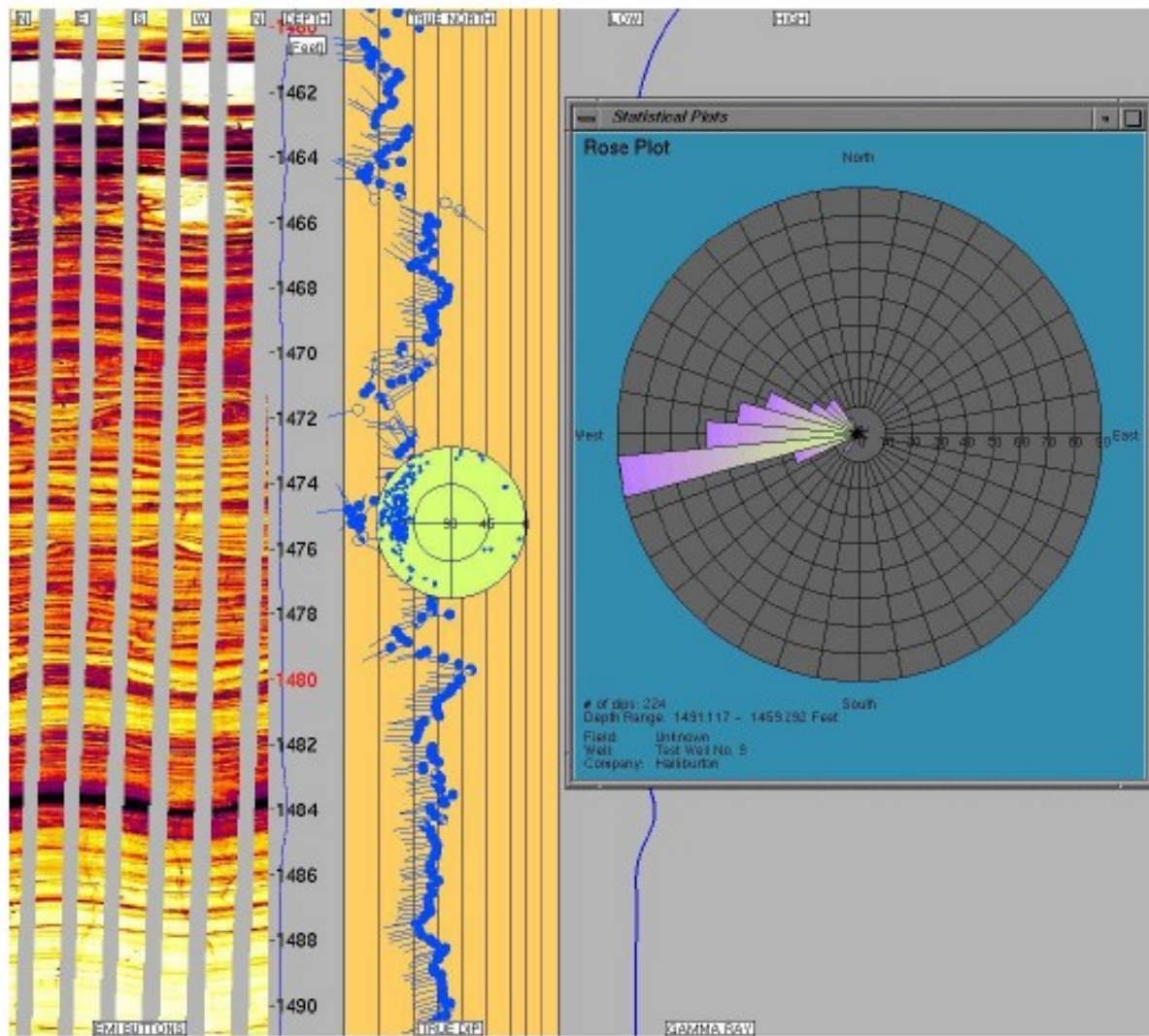
# Schmidt Plot

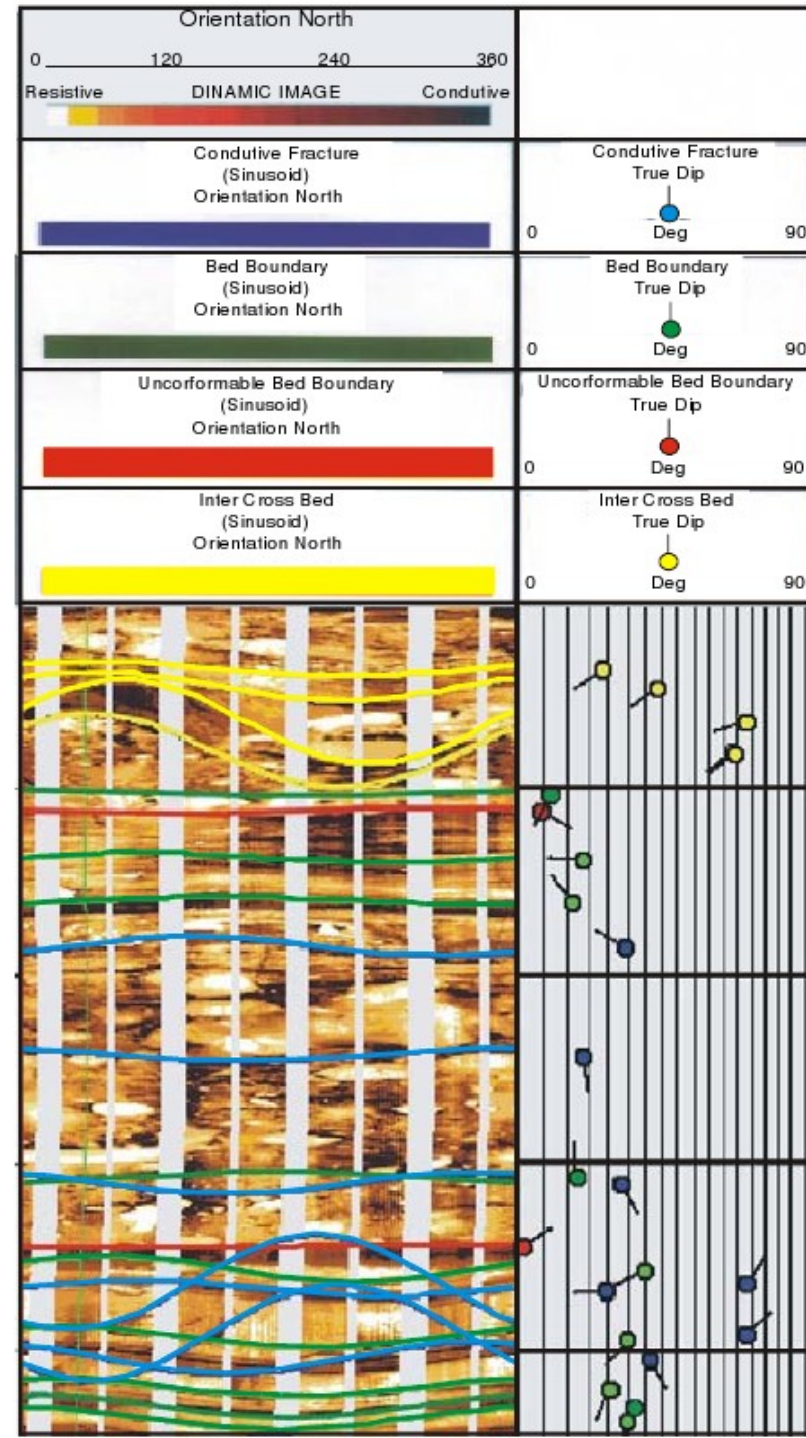
- Displays dipping beds or fractures in polar coordinates.
- Useful method that condenses results into a concise form.
- Good for establishing dip averages.
- Good for determining structural dip



# Rose Plot

- Essentially is a “polar histogram”
- Establishes dip directional preference and occurrence arc
- Useful tool to analyze paleocurrent indicators



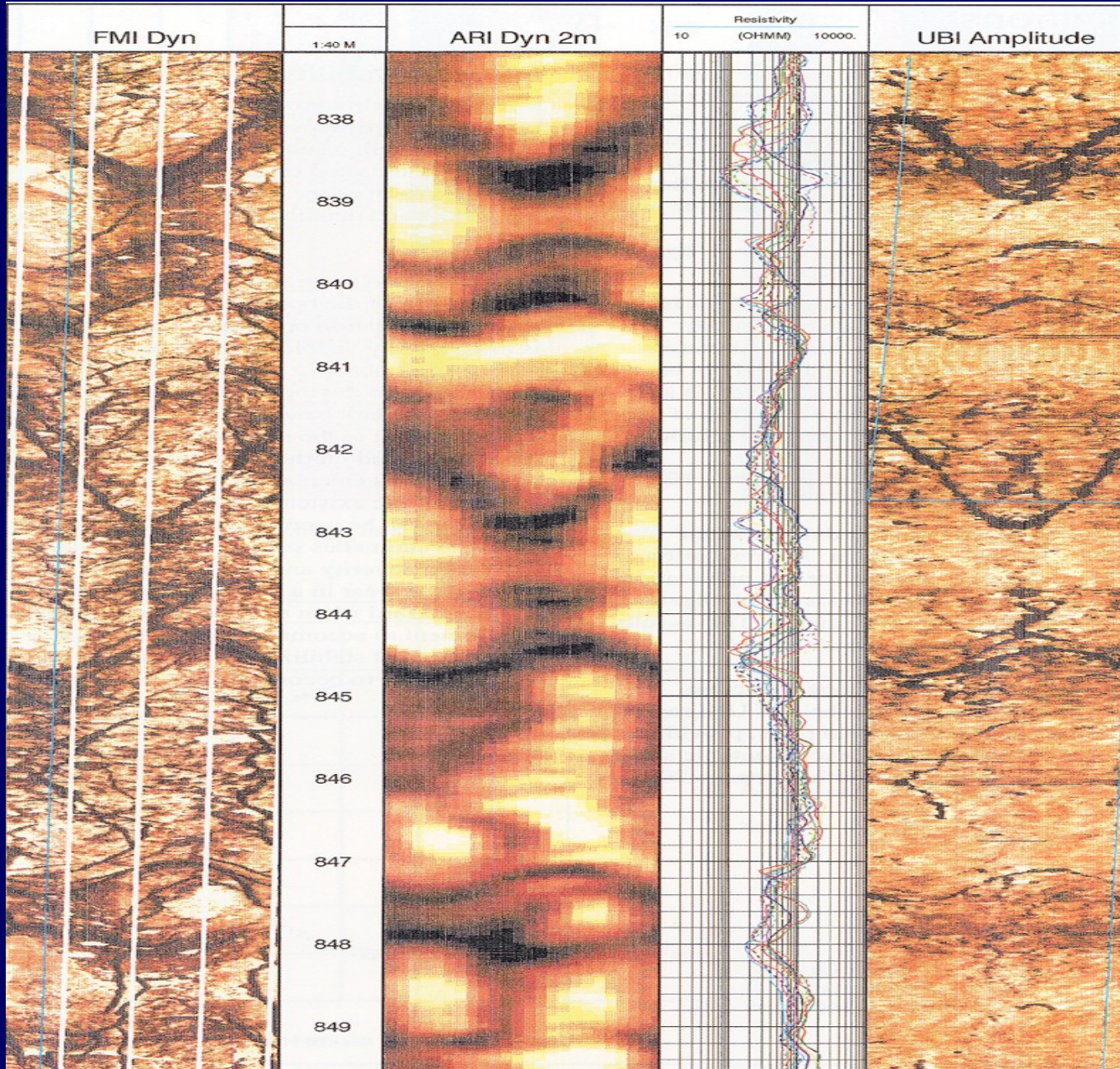


## Interpretação de Perfil de Imagem Resistiva em Estação de Trabalho (Workstation)

- As feições geológicas planares aparecem como curvas senoidais.
- A atitude (mergulho/direção) é calculada automaticamente.
- Cada feição (estratigráfica ou estrutural) é classificada, de acordo com o tipo:
  - a) acamamento
  - b) estratificação
  - c) fratura / falhas (fechadas ou abertas)
  - d) discordância
  - e) dobras, domos, etc
- Para cada uma destas feições (ou famílias) é feito um tratamento estatístico próprio.

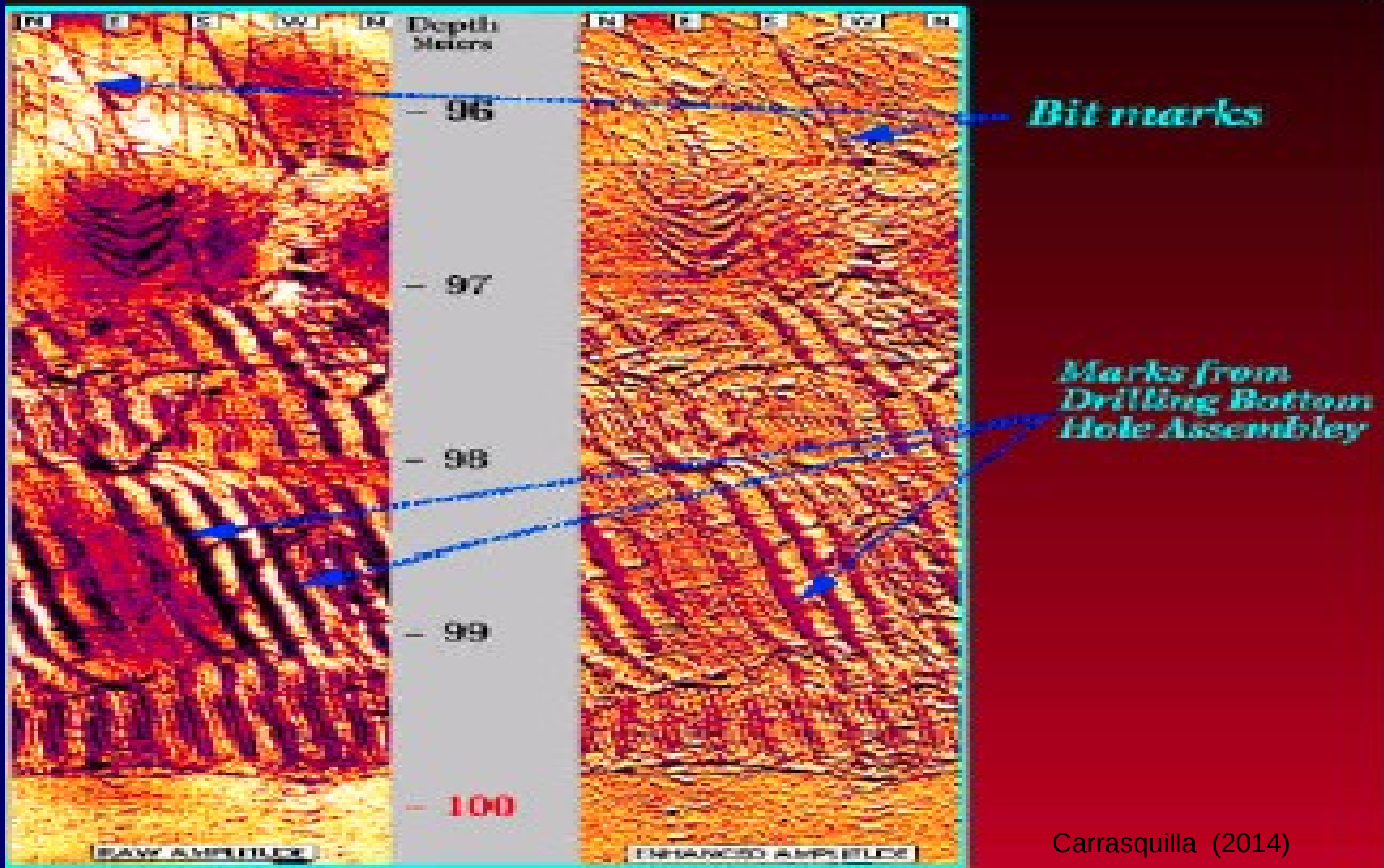
## *Perfil de Imagem Acústica*

- Emissão e recepção de um pulso ultra-sônico refletido na parede do poço.
- Registram a amplitude e o tempo de trânsito deste pulso, que geram dois distintos perfis de imagem.
- O perfil de tempo de trânsito é transformado em escala de cores, obtendo-se uma imagem do calibre do poço ou do revestimento.



- **FMI/ARI/UBI**
  - Imagens mostrando diferentes respostas das fraturas a diferentes ferramentas.
  - Em geral, permitem distinguir entre fraturas abertas e fechadas, profundas e rasas, e também entre naturais e induzidas.

## Marcas da Broca



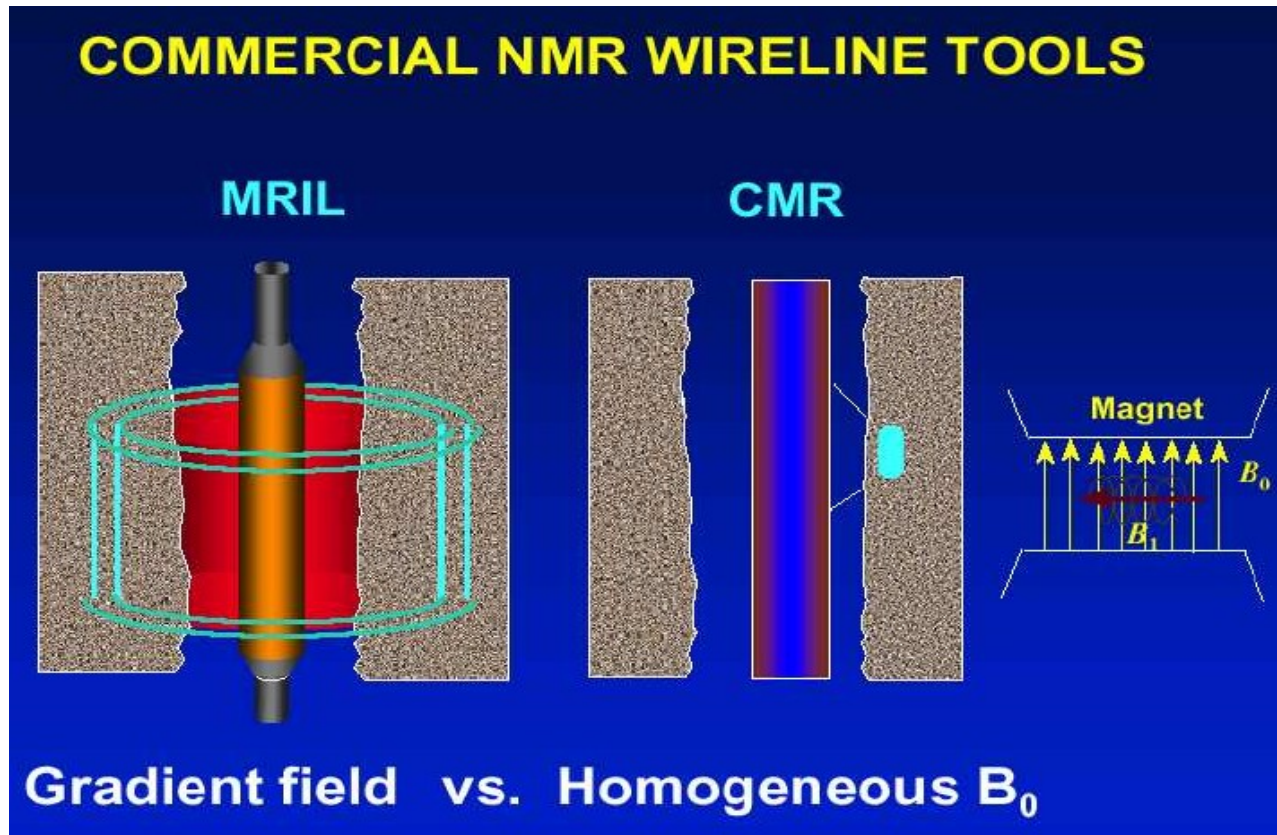
Carrasquilla (2014)

*Perfil Imagem Acústica*

# Ressonância Magnética Nuclear

- CMR (Schlumberger)

- MRIL (Halliburton)



## - Conceito:

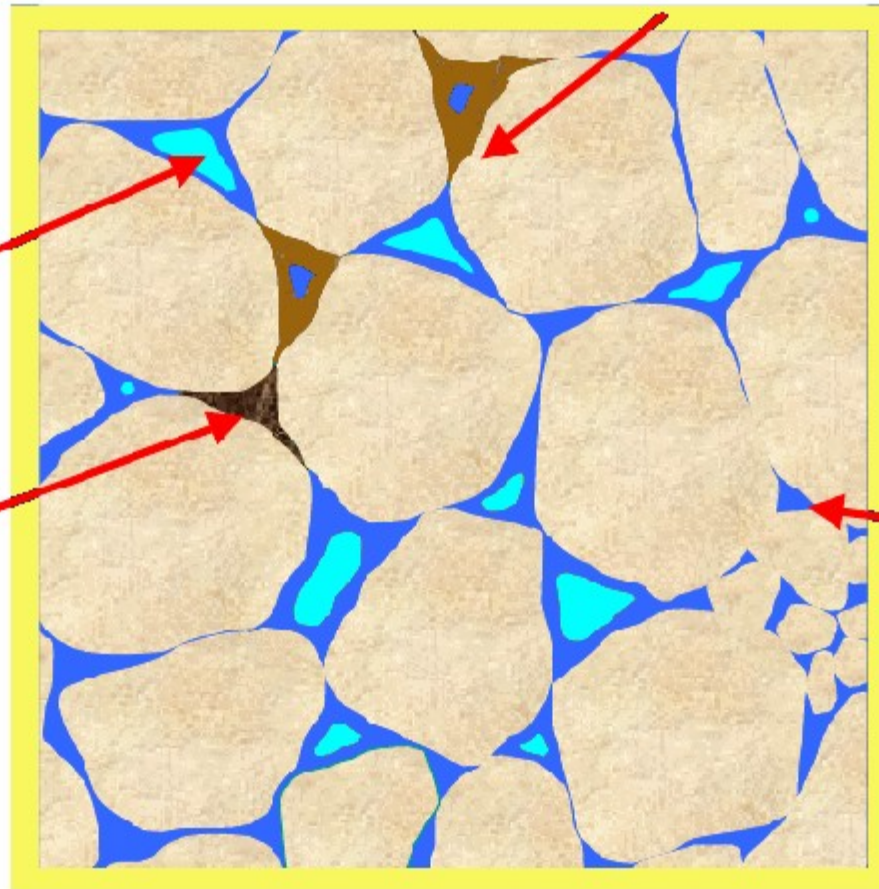
- **T1- tempo de polarização-** tempo necessário para que todos os spins da rocha (H) estejam polarizados
- **TW- tempo de espera-** tempo no qual a ferramenta está efetivamente aguardando a polarização dos spins (parâmetro de aquisição)
- **T2- tempo de relaxamento-** perda de polarização num plano transversal a T1
- **TE- tempo entre ecos** – parâmetro de aquisição
- **NE- número de ecos** – parâmetro de aquisição

**porosidade  
NMR**

Água livre (T2 longo)

Hidrocarboneto  
(T2 longo relacionado  
à viscosidade)

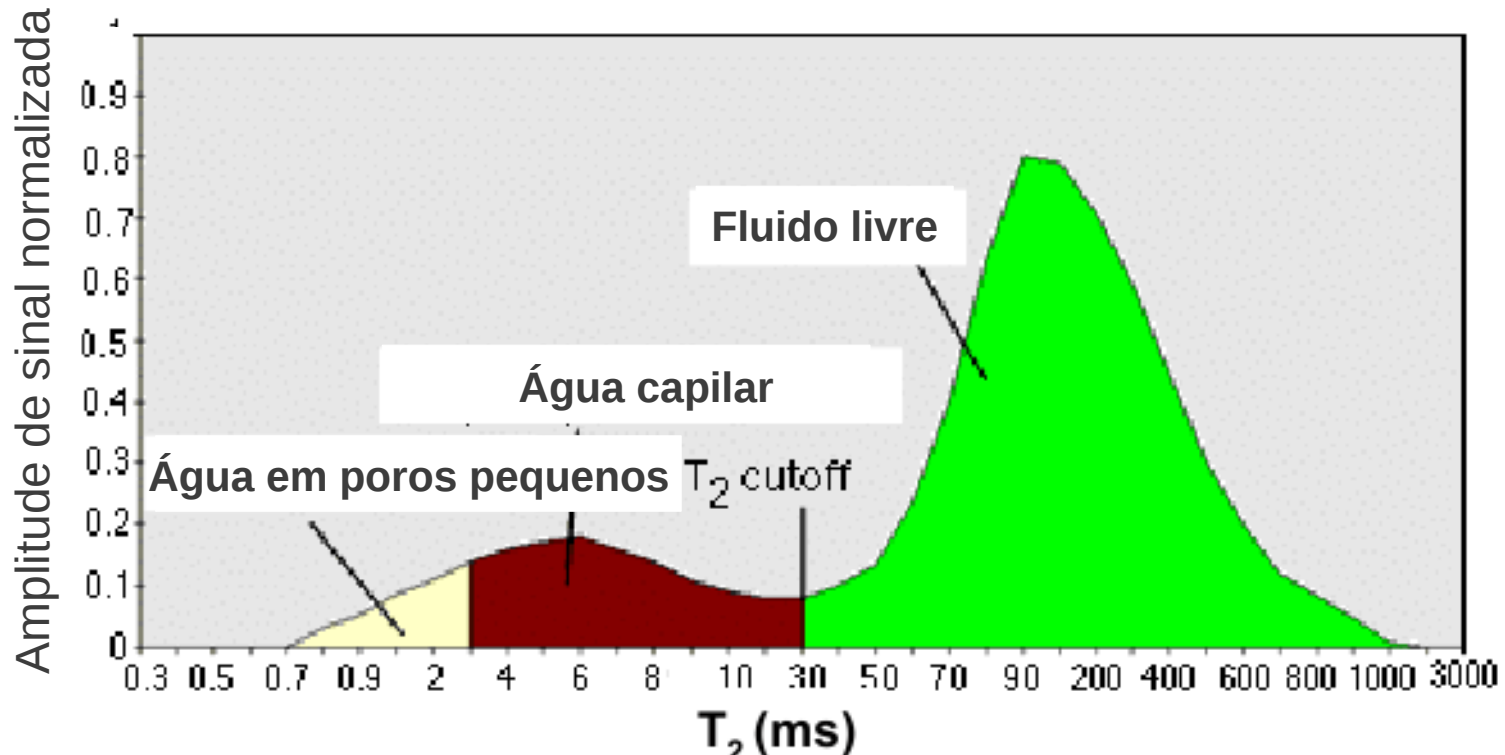
Água eletroquimicamente ligada a  
argilomineral (T2 muito curto)



Carrasquilla (2014)

**Perfil RMN**

## Sumário da distribuição de T2



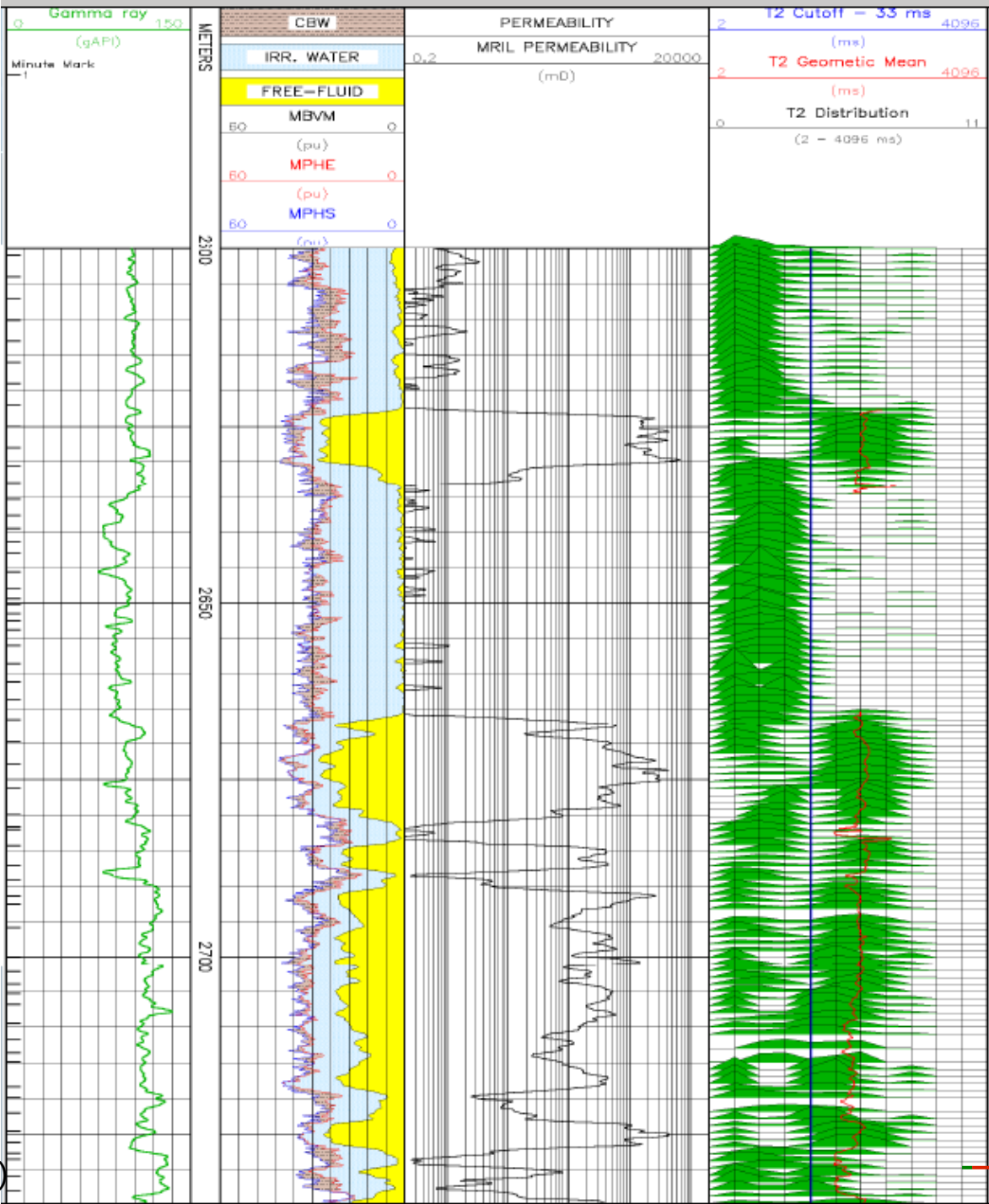
Água em poros pequenos

Água capilar

Fluido livre

Carrasquilla (2014)





## Considerações finais

- Grande gama de ferramentas de perfilagem geofísica de poços geram dados complementares.
- Informações sobre litologia, tipo e quantidade de fluidos e parâmetros petrofísicos.
- Avaliação, Cubagem e Planejamento de Produção de Campos Petrolíferos
- Importantes para correlação estratigráfica e correlação poço-sísmica.
- Baixo custo e rapidez na aquisição de dados (em relação ao testemunho), principalmente com LWD.
- Avanço constante no desenvolvimento de ferramentas.

## ***Referências:***

- Asquith, G. and Gibson, C. 1982. Basic well log analysis for geologists.
- Bassiouni, Z. 1994. Theory, measurement, and interpretation of Well Logs. 372p.
- Carrasquilla, A. 2014. Perfilagem Geofísica de Poços. 16A Escola de Verão Geofísica na USP. Instituto de Astronomia, Geofísica e Ciências Atmosféricas, USP. Fevereiro, 2014.
- Feijó, F.J. 2005. Geologia do Petróleo – programa USP 2005.
- Flores A.C.C., Dupuy I.S.S., Forbrig L.C., Silva R.R., Campinho V.S. 2006. Apostila Perfilagem: Conceitos e Aplicações. Compilação feita em março/2006.
- Halliburton 2001. Basic Petroleum Geology and Log Analysis.
- Soeiro, P.A.S. 2005. Perfilagem de poços – programa USP 2005.
- Tittman J., 1986 – Geophysical Well Logging. Excerpted from Methods in Experimental Physics, Geophysics. Vol. 24.